

DAFTAR PUSTAKA

- Ahmad, W. 2005. *Mine Geology, Exploration Methods, Ore Processing, Resource Estimation, and Project Development*. PT. Vale Inco: Sorowako
- Ahmad, W. 2009. *Fundamentals Of Chemistry, Mineralogy, Weathering Process, Formation and Exploration*. PT.Vale Inco: Sorowako
- Aisha, F.Y., Warnana, D.D., and Ariyanti, N. 2018. Pemodelan Geostatistik 3D Pada Sebaran Batuan Karbonat Menggunakan Metode Krigging Berdasarkan Data Resistivitas 2D dan N-SPT. *Jurnal Geosaintek*, 4(3), 97-102.
- Arif, M. 2017. *Hubungan Nilai Resistivitas dan Sifat Kimia Batuan untuk Menentukan Karakteristik Profil Nikel Laterit di Kecamatan Nuha, Luwu Timur*. Skripsi Geofisika, Universitas Hasanuddin: Makassar.
- Dahlin, T and B. Zhou. 2006. *Multiple-gradient array measurements for multichannel 2D resistivity imaging. Near Surface Geophysics*. European Association of Geoscientists & Engineers (EAGE).
- Golightly, J.P. 1979. *Geology Of Soroako Nickeliferous Laterite Deposite*. Int. Laterite Simp. New Orleans.
- Grandis, H. 2009. *Pengantar Pemodelan Inversi Geofisika*. Himpunan Ahli Geofisika Indonesia
- Hall, R., and Wilson, E.J., 2000. Neogene suture in Eastern Indonesia. *J. Asian Earth Sci*, 18, 781 – 808.
- Hernandi, D., Rosana, M.F., and Haryanto, A.D. 2017. Domain Geologi Sebagai Dasar Pemodelan Estimasi Sumber Daya Nikel Laterit Perbukitan Zahwah, Soroako, Kabupaten Luwu Timur, Provinsi Sulawesi Selatan. *Bulletin of Scientific Contribution*, 15(2), 111-112.
- Ilham, M. F. 2020. *Pemodelan Data Geolistrik Resistivitas Satu Dimensi Menjadi Tiga Dimensi Menggunakan Metode Interpolasi Polinomial 2D*. Skripsi Geofisika, Universitas Hasanuddin: Makassar.



and Koike, K. (2012). Geostatistical modeling of ore grade distribution from geomorphic characterization in a laterite nickel deposit. *Natural Resources Research*, 21(2), 177–191.

- Kamaruddin, H. Ardiansyah IK, R., Rosana, M.F., Sulaksana, N., and Tintin Y, E. 2018. Profil Endapan Laterit Nikel di Pomalaa, Kabupaten Kolaka, Provinsi Sulawesi Tenggara. *Buletin sumber Daya Geologi*, 13(2), 84-105
- Kusuma, R.A.I., Kamaruddin, H., Rosana, M.F., and Yuningsih, E.T. 2019. Geokimia Endapan Nikel Laterit di Tambang Utara, Kecamatan Pomalaa, Kabupaten Kolaka, Provinsi Sulawesi Tenggara. *Jurnal Geologi dan Sumber Daya Mineral*, 20(2), 85-92.
- Loke, M.H., 2004. *Tutorial: 2-D and 3-D Electrical Imaging Surveys*. Malaysia
- Lowrie, W. 2007. *Fundamentals Of Geophysics*. Cambridge University Press.
- Massinai M. A., Lantu, Latuconsina H., and Massinai M. F. I. 2018. Distribution Analysis of Sulphide Mineral (Pyrite) Using Induced Polarization Method in Libureng, Bone, South Sulawesi. *IOP Conf. Ser. Earth Environ. Sci*, 132, 1-7.
- Octova, A., Gusman, M., P, R., Putra, R., & Putra, A. 2020. Modeling of Aquifer Using Vertical Electrical Sounding Data with Kriging Interpolation in Padang City. *Journal of Physics*.
- Pinandhito, H. S. 2018. *Identifikasi Profil Deposit Nikel Laterit Berdasarkan Analisis ERT dan Data Bor Lapangan "VDM" Area PT. Vale Indonesia, Tbk*. Skripsi, Universitas Gadjah Mada.
- Rozalia, G., Yasin, H., & Ispriyanti, D. 2016. Penerapan Metode Ordinary Kriging pada Pendugaan Kadar NO₂ di Udara. *Jurnal Gaussian*, 5(1), 113-121.
- Santoso, B., Wijatmoko, B., dan Supriyana, E. 2017. Kajian Nikel Laterit dengan Metode Electrical Resistivity Tomography di Daerah Batu Putih, Kolaka Utara, Sulawesi Tenggara. *Jurnal Material dan Energi Indonesia*, 7(1), 24-30.
- Santoso, B., dan Subagio. 2018. Pemodelan Nikel Laterit Berdasarkan Data Resistivitas Di Daerah Kabaena Selatan Kabupaten Bombana, Provinsi Sulawesi Tenggara. *Jurnal Geologi dan Sumber Daya Mineral*, 19(3), 148-161.
- Supriyanto, S. 2007. *Analisis Data Geofisika: Memahami Teori Inversi*. Universitas Indonesia
- Y. 2014. *Optimalisasi Penggunaan ERT Konfigurasi Gradient dalam Memaksimalkan Eksplorasi Nikel Laterit*. Skripsi Geofisika, Universitas Hasanuddin: Makassar.



- Surono & Hartono, U. 2013. *Geologi Sulawesi*. LIPI Press. Jakarta
- Syafrizal, Heriawan, M.N., Notosiswoyo, S., Anggayana, K., dan Samosir, J.F. 2009. Hubungan Kemiringan Lereng dan Morfologi dalam Distribusi Ketebalan Horizon Laterit Pada Endapan Nikel Laterit : Studi Kasus Endapan Nikel Laterit di Pulau Gee dan Pulau Pakal, Halmahera Timur, Maluku Utara. *JTM*, 16(3), 149-161.
- Syamsuddin, Lantu, Massinai, M. A., & Akbar, S. (2012). Identifikasi Sesar Bawah Permukaan Dengan Menggunakan Metoda Geolistrik Konfigurasi Wenner di Sekitar DAS Jene'berang, Kecamatan Parangloe, Kabupaten Gowa, Sulawesi Selatan. *Jurnal Positron*, 2(2), 33–39.
- Telford, W. M., Geldart, L. P., & Sheriff, R. E. (1990). *Applied geophysics*. Cambridge University Press.



LAMPIRAN

Lampiran 1. Tabel perhitungan batas atas – batas bawah dan ketebalan lapisan saprolit

Lintasan E02

Tabel 1 Perhitungan batas atas dan batas bawah lapisan saprolit lintasan E02

Line	ID Hole	SapTop (ohm.m)	SapBot (ohm.m)
E02	C199398	187,5	27,5
	C197002	115	20
	C199372	125	28
	C196994B	47,5	147,5
	C199349	95	50
	C196988	20	40
	C196986	75	22,5
Mean		95	47,92 50 (dibulatkan)

Tabel 2 Perhitungan ketebalan lapisan saprolit lintasan E02

ID Hole	Ketebalan Saprolit Berdasarkan Data Bor			Ketebalan Saprolit Berdasarkan Data Resistivitas			
	SapTop Elevasi	SapBot Elevasi	Ketebalan (m)	SapTop Elevasi	SapBot Elevasi	Ketebalan (m)	
C196986	466,09	462,07	4,02	466,83	454,28	12,55	
C196988	511,4	506,97	4,43	511,21	492,85	18,36	
C199349	518,05	515,43	2,62	518,05	510,29	7,76	
C196994B	506	483,96	22,04	509,14	496,33	12,81	
C199372	506,88	498,86	8,02	505,98	490,94	15,04	
C197002	505,7	500,74	4,96	505,42	495,31	10,11	
C199398	500,52	491,56	8,96	498,52	487,99	10,53	
Minimum			2,62	Minimum			7,76
Maximum			22,04	Maximum			18,36
<i>Mean</i>			7,86	<i>Mean</i>			12,45



Lintasan E03

Tabel 3 Perhitungan batas atas dan batas bawah lapisan saprolit lintasan E03

Line	ID Hole	SapTop (ohm.m)	SapBot (ohm.m)
E03	C199399	72,5	25
	C199389	32,5	132,5
	C199373	70	47,5
	C199364	77,5	32,5
	C199350	5	125
	C199342	152,5	17,5
	C199331B		40
	C199328	82,5	65
Mean		70,35	60,62
		70 (dibulatkan)	60 (dibulatkan)

Tabel 4 Perhitungan ketebalan lapisan saprolit lintasan E03

ID Hole	Ketebalan Saprolit Berdasarkan Data Bor			Ketebalan Saprolit Berdasarkan Data Resistivitas		
	SapTop Elevasi	SapBot Elevasi	Ketebalan (m)	SapTop Elevasi	SapBot Elevasi	Ketebalan (m)
C199328	470,67	469,66	1,01	469,9	463,13	6,77
C199331B	492,53	490,76	1,77	492,53	474,07	18,46
C199342	507,92	499,76	8,16	506,32	496,11	10,21
C199350	515,26	504,83	10,43	516,36	507,08	9,28
C199364	506,36	502,4	3,96	506,06	495,24	10,82
C199373	506,4	496,39	10,01	506,4	495,09	11,31
C199389	503,34	488,4	14,94	504,82	492,69	12,13
C199399	496,08	486,16	9,92	496,08	479,59	16,49
Minimum			1,01	Minimum		6,77
Maximum			14,94	Maximum		18,46
<i>Mean</i>			7,52	<i>Mean</i>		11,93



Lintasan E04

Tabel 5 Perhitungan batas atas dan batas bawah lapisan saprolit lintasan E04

Line	ID Hole	SapTop (ohm.m)	SapBot (ohm.m)
E04	C199400	37,5	27,5
	C197003	77,5	45
	C199374	47,5	70
	C196995	82,5	57,5
	C199351	182,5	10
	C196989	210	62,5
	C199332		25
	C196987	280	42,5
Mean		131,07	42,5
		130 (dibulatkan)	40 (dibulatkan)

Tabel 6 Perhitungan ketebalan lapisan saprolit lintasan E04

ID Hole	Ketebalan Saprolit Berdasarkan Data Bor			Ketebalan Saprolit Berdasarkan Data Resistivitas			
	SapTop Elevasi	SapBot Elevasi	Ketebalan (m)	SapTop Elevasi	SapBot Elevasi	Ketebalan (m)	
C196987	470,13	466,09	4,04	468,22	462,9	5,32	
C199332	491,55	489,42	2,13	491,55	485,12	6,43	
C196989	503,84	494,62	9,22	502,37	496,17	6,2	
C199351	513,64	506,07	7,57	513,19	504,4	8,79	
C196995	505,11	498,48	6,63	510,95	495,26	15,69	
C199374	498,18	493,37	4,81	506,53	498,56	7,97	
C197003	506,11	495,18	10,93	507,42	496,51	10,91	
C199400	499,76	495,76	4	502,58	488,54	14,04	
Minimum			2,13	Minimum			5,32
Maximum			10,93	Maximum			15,69
<i>Mean</i>			6,16	<i>Mean</i>			9,41



Lintasan E05

Tabel 7 Perhitungan batas atas dan batas bawah lapisan saprolit lintasan E05

Line	ID Hole	SapTop (ohm.m)	SapBot (ohm.m)
E05	C199427	87,5	
	C199418	160	32,5
	C199401	70	97,5
	C199390	135	20
	C199375	147,5	40
	C199365	97,5	25
	C199352	32,5	35
	C199343	130	15
	C199333	177,5	55
	C199329	127,5	27,5
Mean		116,5	38,61
		115 (dibulatkan)	40 (dibulatkan)

Tabel 8 Perhitungan ketebalan lapisan saprolit lintasan E05

ID Hole	Ketebalan Saprolit Berdasarkan Data Bor			Ketebalan Saprolit Berdasarkan Data Resistivitas		
	SapTop Elevasi	SapBot Elevasi	Ketebalan (m)	SapTop Elevasi	SapBot Elevasi	Ketebalan (m)
C199329	472,84	468,67	4,17	472,16	462	10,16
C199333	480,19	476,21	3,98	479,22	475,67	3,55
C199343	502,78	495,8	6,98	502,36	492,45	9,91
C199352	504,65	497,36	7,29	508,19	496,51	11,68
C199365	510,81	502,79	8,02	511,35	498,29	13,06
C199375	514,3	508,33	5,97	513,78	507,25	6,53
C199390	516,1	511,56	4,54	515,83	508,04	7,79
C199401	511,49	498,51	12,98	512,16	502,12	10,04
C199418	505,31	499,93	5,38	504,98	499,21	5,77
Minimum			3,98	Minimum		3,55
Maximum			12,98	Maximum		13,06
<i>Mean</i>			6,59	<i>Mean</i>		8,72



Lintasan E06

Tabel 9 Perhitungan batas atas dan batas bawah lapisan saprolit lintasan E06

Line	ID Hole	SapTop (ohm.m)	SapBot (ohm.m)
E06	C197011	167,5	
	C199402	162,5	42,5
	C197004	45	25
	C199376	60	100
	C196996	107,5	67,5
	C199353	37,5	20
	C196990	100	30
Mean		97,14	47,5
		95 (dibulatkan)	50 (dibulatkan)

Tabel 10 Perhitungan ketebalan lapisan saprolit lintasan E06

ID Hole	Ketebalan Saprolit Berdasarkan Data Bor			Ketebalan Saprolit Berdasarkan Data Resistivitas		
	SapTop Elevasi	SapBot Elevasi	Ketebalan (m)	SapTop Elevasi	SapBot Elevasi	Ketebalan (m)
C196990	497,44	492,44	5	497,14	489,62	7,52
C199353	512,75	508,52	4,23	513,72	504,23	9,49
C196996	517,25	507,26	9,99	517,05	508,44	8,61
C199376	520,5	514,05	6,45	521,27	516,36	4,91
C197004	519,15	517,62	1,53	520,63	514,8	5,83
C199402	514,18	510,04	4,14	511,76	504,64	7,12
Minimum			1,53	Minimum		4,91
Maximum			9,99	Maximum		9,49
<i>Mean</i>			5,22	<i>Mean</i>		7,24



Lintasan E07

Tabel 11 Perhitungan batas atas dan batas bawah lapisan saprolit lintasan E07

Line	ID Hole	SapTop (ohm.m)	SapBot (ohm.m)
E07	C199419	110	
	C199403	97,5	45
	C199391	92,5	37,5
	C199377	75	42,5
	C199366	110	45
	C199354	30	20
	C199344	70	40
Mean		85,57	38,33
		85 (dibulatkan)	40 (dibulatkan)

Tabel 12 Perhitungan ketebalan lapisan saprolit lintasan E07

ID Hole	Ketebalan Saprolit Berdasarkan Data Bor			Ketebalan Saprolit Berdasarkan Data Resistivitas		
	SapTop Elevasi	SapBot Elevasi	Ketebalan (m)	SapTop Elevasi	SapBot Elevasi	Ketebalan (m)
C199344	491,66	488,33	3,33	492,51	485	7,51
C199354	508,32	503,79	4,53	509,33	496,34	12,99
C199366	520,93	514,94	5,99	519,14	514,26	4,88
C199377	524,04	514,88	9,16	524,55	515,11	9,44
C199391	519,03	511,94	7,09	518,43	511,35	7,08
C199403	509,52	503,12	6,4	509,2	504,74	4,46
Minimum			3,33	Minimum		4,46
Maximum			9,16	Maximum		12,99
<i>Mean</i>			6,08	<i>Mean</i>		7,72



Lintasan E08

Tabel 13 Perhitungan batas atas dan batas bawah lapisan saprolit lintasan E08

Line	ID Hole	SapTop (ohm.m)	SapBot (ohm.m)
E08	C199404	54,5	52,5
	C199378	70	52,5
	C196997	72,5	25
	C199355	220	25
	C196991	62,5	47,5
	C199336	70	15
Mean		91,58	36,25
		90 (dibulatkan)	35 (dibulatkan)

Tabel 14 Perhitungan ketebalan lapisan saprolit lintasan E08

ID Hole	Ketebalan Saprolit Berdasarkan Data Bor			Ketebalan Saprolit Berdasarkan Data Resistivitas		
	SapTop Elevasi	SapBot Elevasi	Ketebalan (m)	SapTop Elevasi	SapBot Elevasi	Ketebalan (m)
C199336	471,3	467,31	3,99	472,21	464,24	7,97
C196991	482,66	476,67	5,99	483,11	477,67	5,44
C199355	503,92	498,41	5,51	501,99	495,89	6,1
C196997	513,59	508,11	5,48	514,91	504,35	10,56
C199378	517,74	510,97	6,77	518,46	513,25	5,21
C199404	504,23	499,69	4,54	512,44	501,36	11,08
Minimum			3,99	Minimum		5,21
Maximum			6,77	Maximum		11,08
<i>Mean</i>			5,38	<i>Mean</i>		7,72



Lintasan E09

Tabel 15 Perhitungan batas atas dan batas bawah lapisan saprolit lintasan E09

Line	ID Hole	SapTop (ohm.m)	SapBot (ohm.m)
E09	C199420	55	77,5
	C199405	120	27,5
	C199392	72,5	17,5
	C199379	130	17,5
	C199367	90	22,5
	C199356	50	45
	C199345	120	25
	C199337	120	47,5
Mean		94,68	35
		95 (dibulatkan)	

Tabel 16 Perhitungan ketebalan lapisan saprolit lintasan E09

ID Hole	Ketebalan Saprolit Berdasarkan Data Bor			Ketebalan Saprolit Berdasarkan Data Resistivitas		
	SapTop Elevasi	SapBot Elevasi	Ketebalan (m)	SapTop Elevasi	SapBot Elevasi	Ketebalan (m)
C199337	470,02	465,54	4,48	469,14	462,64	6,5
C199345	483,55	475,14	8,41	482,86	473,94	8,92
C199356	491,55	487,55	4	492,4	488,5	3,9
C199367	508,93	500,21	8,72	509,3	498,87	10,43
C199379	519,5	511,34	8,16	518,83	509,7	9,13
C199392	519,47	514,92	4,55	519,95	511,26	8,69
C199405	519,81	514,8	5,01	519,18	505,01	14,17
Minimum			4	Minimum		3,9
Maximum			8,72	Maximum		14,17
<i>Mean</i>			6,19	<i>Mean</i>		8,82



Lintasan E10

Tabel 17 Perhitungan batas atas dan batas bawah lapisan saprolit lintasan E10

Line	ID Hole	SapTop (ohm.m)	SapBot (ohm.m)
E10	C197013	92,5	62,5
	C199406	80	20
	C197006	32,5	50
	C199380	160	75
	C196998B	40	25
	C199357	75	42,5
	C196992	145	22,5
Mean		89,28	42,5
		90 (dibulatkan)	45 (dibulatkan)

Tabel 18 Perhitungan ketebalan lapisan saprolit lintasan E10

ID Hole	Ketebalan Saprolit Berdasarkan Data Bor			Ketebalan Saprolit Berdasarkan Data Resistivitas		
	SapTop Elevasi	SapBot Elevasi	Ketebalan (m)	SapTop Elevasi	SapBot Elevasi	Ketebalan (m)
C196992	477,03	473,03	4	476,27	466,49	9,78
C199357	489,8	483,81	5,99	490,02	483,41	6,61
C196998B	503,99	500,99	3	505,58	499,46	6,12
C199380	518,19	506,7	11,49	517,59	508,52	9,07
C197006	519,02	513,39	5,63	523,84	513,96	9,88
C199406	528,52	524,53	3,99	529,16	519,04	10,12
Minimum			3	Minimum		6,12
Maximum			11,49	Maximum		10,12
<i>Mean</i>			5,68	<i>Mean</i>		8,59



Lintasan E11

Tabel 19 Perhitungan batas atas dan batas bawah lapisan saprolit lintasan E11

Line	ID Hole	SapTop (ohm.m)	SapBot (ohm.m)
E11	C199421	47,5	5
	C199407	52,5	27,5
	C199393		22,5
	C199381	85	27,5
	C199368	92,5	45
	C199358	52,5	37,5
	C199346	112,5	32,5
Mean		73,75	28,21
		75 (dibulatkan)	30 (dibulatkan)

Tabel 20 Perhitungan ketebalan lapisan saprolit lintasan E11

ID Hole	Ketebalan Saprolit Berdasarkan Data Bor			Ketebalan Saprolit Berdasarkan Data Resistivitas		
	SapTop Elevasi	SapBot Elevasi	Ketebalan (m)	SapTop Elevasi	SapBot Elevasi	Ketebalan (m)
C199346	473,14	467,41	5,73	472,73	467,75	4,98
C199358	482,16	477,57	4,59	482,61	477,81	4,8
C199368	497,88	490,88	7	497,53	492,08	5,45
C199381	510,6	504,6	6	510,43	503,82	6,61
C199393	527,47	519,9	7,57	527,47	519,02	8,45
C199407	527,33	519,33	8	527,88	518,56	9,32
Minimum			4,59	Minimum		6,12
Maximum			8	Maximum		10,12
<i>Mean</i>			6,48	<i>Mean</i>		6,60



Lintasan E12

Tabel 21 Perhitungan batas atas dan batas bawah lapisan saprolit lintasan E12

Line	ID Hole	SapTop (ohm.m)	SapBot (ohm.m)
E12	C197014	112,5	
	C199408	137,5	22,5
	C197007	125	22,5
	C199382	22,5	25
	C199359	65	22,5
Mean		92,5	23,12
		95 (dibulatkan)	25 (dibulatkan)

Tabel 22 Perhitungan ketebalan lapisan saprolit lintasan E12

ID Hole	Ketebalan Saprolit Berdasarkan Data Bor			Ketebalan Saprolit Berdasarkan Data Resistivitas		
	SapTop Elevasi	SapBot Elevasi	Ketebalan (m)	SapTop Elevasi	SapBot Elevasi	Ketebalan (m)
C199359	481,6	477,6	4	482,16	477,2	4,96
C199382	503,95	498,93	5,02	505,81	498,93	6,88
C197007	518,81	513,81	5	518,5	513,71	4,79
C199408	525,98	520,73	5,25	525,33	519,28	6,05
Minimum			4	Minimum		4,79
Maximum			5,25	Maximum		6,88
<i>Mean</i>			4,81	<i>Mean</i>		5,67



Lintasan E13

Tabel 23 Perhitungan batas atas dan batas bawah lapisan saprolit lintasan E13

Line	ID Hole	SapTop (ohm.m)	SapBot (ohm.m)
E13	C199409	200	15
	C199394	157,5	92,5
	C199383	62,5	72,5
	C199369	82,5	32,5
	C199360	57,5	22,5
Mean		112	47
		110 (dibulatkan)	45 (dibulatkan)

Tabel 24 Perhitungan ketebalan lapisan saprolit lintasan E13

ID Hole	Ketebalan Saprolit Berdasarkan Data Bor			Ketebalan Saprolit Berdasarkan Data Resistivitas		
	SapTop Elevasi	SapBot Elevasi	Ketebalan (m)	SapTop Elevasi	SapBot Elevasi	Ketebalan (m)
C199360	477,28	473,84	3,44	477,93	471,69	6,24
C199369	488,93	482,53	6,4	488,87	481,05	7,82
C199383	501,15	497,74	3,41	502,2	496,65	5,55
C199394	504,73	500,75	3,98	502,32	497,63	4,69
C199409	524,39	520,89	3,5	523,21	516,88	6,33
Minimum			3,41	Minimum		6,12
Maximum			6,4	Maximum		7,82
<i>Mean</i>			4,14	<i>Mean</i>		6,12



Lintasan E14

Tabel 25 Perhitungan batas atas dan batas bawah lapisan saprolit lintasan E14

Line	ID Hole	SapTop (ohm.m)	SapBot (ohm.m)
E14	C199410	110	17,5
	C197008	32,5	57,5
	C199384	207,5	22,5
	197000	180	62,5
	C199361	75	32,5
Mean		121	38,5
		120 (dibulatkan)	40 (dibulatkan)

Tabel 26 Perhitungan ketebalan lapisan saprolit lintasan E14

ID Hole	Ketebalan Saprolit Berdasarkan Data Bor			Ketebalan Saprolit Berdasarkan Data Resistivitas		
	SapTop Elevasi	SapBot Elevasi	Ketebalan (m)	SapTop Elevasi	SapBot Elevasi	Ketebalan (m)
C199361	469,41	463,41	6	470,05	461,88	8,17
C197000	489,09	479,09	10	488,5	480,78	7,72
C199384	501,56	495,99	5,57	500,72	492,81	7,91
C197008	501,84	494,84	7	505,93	498,12	7,81
C199410	519,04	514,42	4,62	519,18	508,29	10,89
Minimum			4,62	Minimum		7,72
Maximum			10	Maximum		10,89
<i>Mean</i>			6,63	<i>Mean</i>		8,5



Lintasan E15

Tabel 27 Perhitungan batas atas dan batas bawah lapisan saprolit lintasan E15

Line	ID Hole	SapTop (ohm.m)	SapBot (ohm.m)
E15	C199423	55	17,5
	C199411	52,5	62,5
	C199395	85	17,5
	C199385	80	27,5
	C199370	130	22,5
	C199362	140	37,5
Mean		90,41	30,83
		90 (dibulatkan)	30 (dibulatkan)

Tabel 28 Perhitungan ketebalan lapisan saprolit lintasan E15

ID Hole	Ketebalan Saprolit Berdasarkan Data Bor			Ketebalan Saprolit Berdasarkan Data Resistivitas		
	SapTop Elevasi	SapBot Elevasi	Ketebalan (m)	SapTop Elevasi	SapBot Elevasi	Ketebalan (m)
C199370	482,72	476,3	6,42	482,16	475,61	6,55
C199385	496,54	492,83	3,71	497	492,6	4,4
C199395	511,99	506,99	5	512,2	504,82	7,38
C199411	515,23	513,23	2	518,26	514,21	4,05
C199423	526,75	520,75	6	527,62	518,95	8,67
Minimum			2	Minimum		4,05
Maximum			6,42	Maximum		8,67
<i>Mean</i>			4,62	<i>Mean</i>		6,21



Lintasan N01

Tabel 29 Perhitungan batas atas dan batas bawah lapisan saprolit lintasan N01

Line	ID Hole	SapTop (ohm.m)	SapBot (ohm.m)
N01	C199331B		42,5
	C199332		22,5
	C199333	137,5	37,5
	C199334	25	42,5
	C199335	85	27,5
	C199336	35	15
	C199337	217,5	15
	C199338	27,5	57,5
Mean		87,91	32,5
		90 (dibulatkan)	35 (dibulatkan)

Tabel 30 Perhitungan ketebalan lapisan saprolit lintasan N01

ID Hole	Ketebalan Saprolit Berdasarkan Data Bor			Ketebalan Saprolit Berdasarkan Data Resistivitas			
	SapTop Elevasi	SapBot Elevasi	Ketebalan (m)	SapTop Elevasi	SapBot Elevasi	Ketebalan (m)	
C199338	473,22	467,26	5,96	474,34	470,16	4,18	
C199337	470,02	465,53	4,49	468,68	462,71	5,97	
C199336	471,32	467,3	4,02	472,39	463,07	9,32	
C199335	475,95	470,68	5,27	475,83	469,65	6,18	
C199334	476,5	472,5	4	479	473,23	5,77	
C199333	480,18	476,19	3,99	479,48	474,65	4,83	
C199332	490,91	489,41	1,5	490,91	485,61	5,3	
C199331B	492,24	490,75	1,49	492,24	488,09	4,15	
Minimum			1,49	Minimum			4,15
Maximum			5,96	Maximum			9,32
<i>Mean</i>			3,84	<i>Mean</i>			5,71



Lintasan N02

Tabel 31 Perhitungan batas atas dan batas bawah lapisan saprolit lintasan N02

Line	ID Hole	SapTop (ohm.m)	SapBot (ohm.m)
N02	C199341		17,5
	C196988		32,5
	C199342	132,5	97,5
	C196989	117,5	75
	C199343	120	22,5
	C196990	97,5	40
	C199344	75	32,5
	C196991	42,5	47,5
	C199345		85
	C196992	125	35
	C199346	162,5	20
	C196993	50	12,5
Mean		102,5	43,12
		105 (dibulatkan)	45 (dibulatkan)

Tabel 32 Perhitungan ketebalan lapisan saprolit lintasan N02

ID Hole	Ketebalan Saprolit Berdasarkan Data Bor			Ketebalan Saprolit Berdasarkan Data Resistivitas		
	SapTop Elevasi	SapBot Elevasi	Ketebalan (m)	SapTop Elevasi	SapBot Elevasi	Ketebalan (m)
C196993	466,21	463,21	3	467,45	460,42	7,03
C199346	473,15	467,42	5,73	471,99	464,04	7,95
C196992	477,02	473,02	4	476,51	463,08	13,43
C199345	483,19	475,15	8,04	483,19	478,57	4,62
C196991	482,66	476,66	6	484,08	476,78	7,3
C199344	491,65	488,33	3,32	492,33	485,22	7,11
C196990	497,43	492,43	5	497,8	487,4	10,4
C199343	502,75	495,75	7	502,39	493,91	8,48
C196989	503,83	494,59	9,24	503,63	496,84	6,79
C199342	507,92	499,7	8,22	507,38	499,87	7,51
C196988	511,11	506,94	4,17	511,11	499,68	11,43
11	497,02	491,8	5,22	497,02	484	13,02
Minimum			3	Minimum		4,62
Maximum			9,24	Maximum		13,43
Mean			5,74	Mean		8,75



Lintasan N03

Tabel 33 Perhitungan batas atas dan batas bawah lapisan saprolit lintasan N03

Line	ID Hole	SapTop (ohm.m)	SapBot (ohm.m)
N03	C199348	237,5	7,5
	C199349	70	47,5
	C199350	57,5	32,5
	C199351	320	10
	C199352	7,5	142,5
	C199353	130	12,5
	C199354	67,5	12,5
	C199355	190	35
	C199356	37,5	87,5
	C199357	80	62,5
	C199358	52,5	100
	C199359	87,5	17,5
	C199360	97,5	27,5
	C199361	55	52,5
	C199362	42,5	12,5
Mean		102,16	44
		100 (dibulatkan)	45 (dibulatkan)



Tabel 34 Perhitungan ketebalan lapisan saprolit lintasan N03

ID Hole	Ketebalan Saprolit Berdasarkan Data Bor			Ketebalan Saprolit Berdasarkan Data Resistivitas		
	SapTop Elevasi	SapBot Elevasi	Ketebalan (m)	SapTop Elevasi	SapBot Elevasi	Ketebalan (m)
C199362	464,18	461,19	2,99	464,88	456,77	8,11
C199361	469,42	463,42	6	470,09	463,88	6,21
C199360	477,29	473,83	3,46	476,93	468,88	8,05
C199359	481,6	477,6	4	482,08	474,73	7,35
C199358	482,16	477,56	4,6	484,02	478,92	5,1
C199357	489,8	483,8	6	490,36	484,55	5,81
C199356	491,54	487,55	3,99	493,48	489,56	3,92
C199355	503,92	498,41	5,51	502,46	497,34	5,12
C199354	508,33	503,79	4,54	509,09	499,21	9,88
C199353	512,72	508,52	4,2	511,6	504,57	7,03
C199352	504,65	497,36	7,29	509,73	501,2	8,53
C199351	513,64	506,07	7,57	510,44	501,27	9,17
C199350	515,25	504,79	10,46	518,43	504,26	14,17
C199349	518,05	515,43	2,62	519,22	514,98	4,24
C199348	512,1	506,92	5,18	510,61	501,03	9,58
Minimum			2,62	Minimum		3,92
Maximum			10,46	Maximum		14,17
<i>Mean</i>			5,22	<i>Mean</i>		7,48



Lintasan N04

Tabel 35 Perhitungan batas atas dan batas bawah lapisan saprolit lintasan N04

Line	ID Hole	SapTop (ohm.m)	SapBot (ohm.m)
N04	C199363	137,5	27,5
	C196994B	10	
	C199364	45	32,5
	C196995	125	32,5
	C199365	102,5	47,5
	C196996	115	22,5
	C199366	72,5	80
	C196997	125	17,5
	C199367	95	27,5
	C196998B	47,5	17,5
	C199368	110	12,5
	C199369	55	52,5
	C197000	75	67,5
	C199370	132,5	22,5
Mean		89,10	35,38
		90 (dibulatkan)	35 (dibulatkan)



Tabel 36 Perhitungan ketebalan lapisan saprolit lintasan N04

ID Hole	Ketebalan Saprolit Berdasarkan Data Bor			Ketebalan Saprolit Berdasarkan Data Resistivitas		
	SapTop Elevasi	SapBot Elevasi	Ketebalan (m)	SapTop Elevasi	SapBot Elevasi	Ketebalan (m)
C197001B	471,77	471,22	0,55	471,77	468,09	3,68
C199370	482,73	476,31	6,42	481,95	475,83	6,12
C197000	489,1	479,11	9,99	489,53	482,64	6,89
C199369	488,93	482,54	6,39	489,4	485,91	3,49
C199368	497,89	490,89	7	497,37	486,91	10,46
C196998B	504	501	3	506,18	498,77	7,41
C199367	508,93	500,21	8,72	509,06	499,53	9,53
C196997	513,58	508,11	5,47	512,71	506,31	6,4
C199366	520,92	514,92	6	522,06	517,1	4,96
C196996	517,26	507,27	9,99	516,53	502,84	13,69
C199365	510,76	502,79	7,97	508	497,89	10,11
C196995	505,14	498,42	6,72	503,77	494,06	9,71
C199364	506,31	502,31	4	507,52	501,78	5,74
C196994B	505,97	483,98	21,99	508,85	502,24	6,61
C199363	507,47	487,47	20	505,75	485,79	19,96
Minimum			0,55	Minimum		3,49
Maximum			21,99	Maximum		19,96
<i>Mean</i>			8,28	<i>Mean</i>		8,31



Lintasan N05

Tabel 37 Perhitungan batas atas dan batas bawah lapisan saprolit lintasan N05

Line	ID Hole	SapTop (ohm.m)	SapBot (ohm.m)
N05	C199371	57,5	90
	C199372	247,5	50
	C199373	22,5	12,5
	C199374	27,5	32,5
	C199375	152,5	72,5
	C199376	65	87,5
	C199377	75	52,5
	C199378	52,5	97,5
	C199379	305	47,5
	C199380	72,5	85
	C199381	67,5	27,5
	C199382	62,5	12,5
	C199383	117,5	27,5
	C199384	217,5	22,5
	C199385	80	32,5
	C199386	32,5	22,5
C199387		145	
Mean		103,43	53,97
		105 (dibulatkan)	55 (dibulatkan)



Tabel 38 Perhitungan ketebalan lapisan saprolit lintasan N05

ID Hole	Ketebalan Saprolit Berdasarkan Data Bor			Ketebalan Saprolit Berdasarkan Data Resistivitas		
	SapTop Elevasi	SapBot Elevasi	Ketebalan (m)	SapTop Elevasi	SapBot Elevasi	Ketebalan (m)
C199387	489,89	486,24	3,65	489,89	487,02	2,87
C199386	495,48	491,27	4,21	496,68	484,11	12,57
C199385	496,54	492,83	3,71	497,19	491,57	5,62
C199384	501,56	495,99	5,57	500,61	492,99	7,62
C199383	501,15	497,95	3,2	500,52	494,02	6,5
C199382	503,93	498,93	5	504,85	496,22	8,63
C199381	510,61	504,62	5,99	513,36	501,32	12,04
C199380	518,2	506,69	11,51	519,99	507,8	12,19
C199379	519,5	511,32	8,18	519,23	511,03	8,2
C199378	517,73	510,95	6,78	519,72	505,63	14,09
C199377	524,03	514,88	9,15	526,6	514,83	11,77
C199376	520,49	514,03	6,46	521,42	515,73	5,69
C199375	514,29	508,31	5,98	513,22	503,97	9,25
C199374	498,12	493,31	4,81	507,9	489,1	18,8
C199373	506,35	496,35	10	508,15	491,43	16,72
C199372	506,86	498,86	8	505,16	498,46	6,7
C199371	500,84	488,86	11,98	502,65	490,87	11,78
Minimum			3,2	Minimum		2,87
Maximum			11,98	Maximum		18,8
<i>Mean</i>			6,71	<i>Mean</i>		10,06



Lintasan N06

Tabel 39 Perhitungan batas atas dan batas bawah lapisan saprolit lintasan N06

Line	ID Hole	SapTop (ohm.m)	SapBot (ohm.m)
N06	C199388	85	22,5
	C197002	97,5	22,5
	C199389	32,5	77,5
	C197003	95	22,5
	C197004	67,5	32,5
	C199391	95	32,5
	C199392	187,5	30
	C197006	17,5	132,5
	C199393		17,5
	C197007	80	27,5
	C199394	110	82,5
	C197008	30	70
	C199395	95	17,5
	C197009	185	57,5
	C199396		47,5
Mean		90,57	46,16
		90 (dibulatkan)	45 (dibulatkan)



Tabel 40 Perhitungan ketebalan lapisan saprolit lintasan N06

ID Hole	Ketebalan Saprolit Berdasarkan Data Bor			Ketebalan Saprolit Berdasarkan Data Resistivitas		
	SapTop Elevasi	SapBot Elevasi	Ketebalan (m)	SapTop Elevasi	SapBot Elevasi	Ketebalan (m)
C199396	509,78	505,3	4,48	509,78	501,84	7,94
C197009	509,22	496,23	12,99	507,64	497,54	10,1
C199395	511,99	507	4,99	511,85	504,45	7,4
C197008	501,84	494,85	6,99	505,94	497,89	8,05
C199394	504,74	500,75	3,99	503,34	500,31	3,03
C197007	518,82	513,81	5,01	520,3	511,18	9,12
C199393	527,16	519,88	7,28	527,16	516,11	11,05
C197006	519,01	513,38	5,63	523,16	517,02	6,14
C199392	519,46	514,91	4,55	518,49	513,41	5,08
C199391	519,01	511,9	7,11	518,47	510,08	8,39
C197004	519,16	517,62	1,54	519,81	514,44	5,37
C197003	506,11	495,11	11	505,98	491,72	14,26
C199389	503,34	488,39	14,95	504,86	491,58	13,28
C197002	505,69	500,69	5	505,5	494,2	11,3
C199388	493,07	486,31	6,76	493,07	479,82	13,25
Minimum			1,54	Minimum		3,03
Maximum			14,95	Maximum		14,26
<i>Mean</i>			6,81	<i>Mean</i>		8,91



Lintasan N07

Tabel 41 Perhitungan batas atas dan batas bawah lapisan saprolit lintasan N07

Line	ID Hole	SapTop (ohm.m)	SapBot (ohm.m)
N07	C199388	85	22,5
	C197002	97,5	22,5
	C199389	32,5	77,5
	C197003	95	22,5
	C197004	67,5	32,5
	C199391	95	32,5
	C199392	187,5	30
	C197006	17,5	132,5
	C199393		17,5
	C197007	80	27,5
	C199394	110	82,5
	C197008	30	70
	C199395	95	17,5
	C197009	185	57,5
	C199396		47,5
Mean		90,57	46,16
		90 (dibulatkan)	45 (dibulatkan)



Tabel 42 Perhitungan ketebalan lapisan saprolit lintasan N07

ID Hole	Ketebalan Saprolit Berdasarkan Data Bor			Ketebalan Saprolit Berdasarkan Data Resistivitas		
	SapTop Elevasi	SapBot Elevasi	Ketebalan (m)	SapTop Elevasi	SapBot Elevasi	Ketebalan (m)
C199412	524,99	521,55	3,44	524,99	519,78	5,21
C199411	515,23	513,23	2	517,7	513,06	4,64
C199410	519,04	514,42	4,62	518,41	510,94	7,47
C199409	524,39	520,89	3,5	524,29	516,81	7,48
C199408	525,97	520,74	5,23	525,17	517,04	8,13
C199407	527,33	519,33	8	528,27	521,34	6,93
C199406	528,54	524,52	4,02	528,86	522,41	6,45
C199405	519,8	514,8	5	519,38	509,43	9,95
C199404	504,18	499,68	4,5	511,28	503,69	7,59
C199403	509,51	503,11	6,4	509,64	504,53	5,11
C199402	514,19	510,01	4,18	513,1	507,88	5,22
C199401	511,47	498,47	13	511,95	504,26	7,69
C199400	499,74	495,74	4	501,05	489,44	11,61
C199399	496,12	486,12	10	497,93	488,24	9,69
C199398	500,49	491,49	9	498,82	492,23	6,59
C199397	488,5	477,5	11	487,21	472,51	14,7
Minimum			2	Minimum		4,64
Maximum			13	Maximum		14,7
<i>Mean</i>			6,11	<i>Mean</i>		7,77



Lintasan N08

Tabel 43 Perhitungan batas atas dan batas bawah lapisan saprolit lintasan N08

Line	ID Hole	SapTop (ohm.m)	SapBot (ohm.m)
N08	C199418	22,5	40
	C197011	37,5	
	C199419	180	
	C197012B	122,5	52,5
	C199420	97,5	72,5
	C197013	115	75
	C199421	52,5	45
	C197014	157,5	92,5
	C199422	75	20
	C197015	80	22,5
	C199423	52,5	20
Mean		90,22	48,88
		90 (dibulatkan)	50 (dibulatkan)

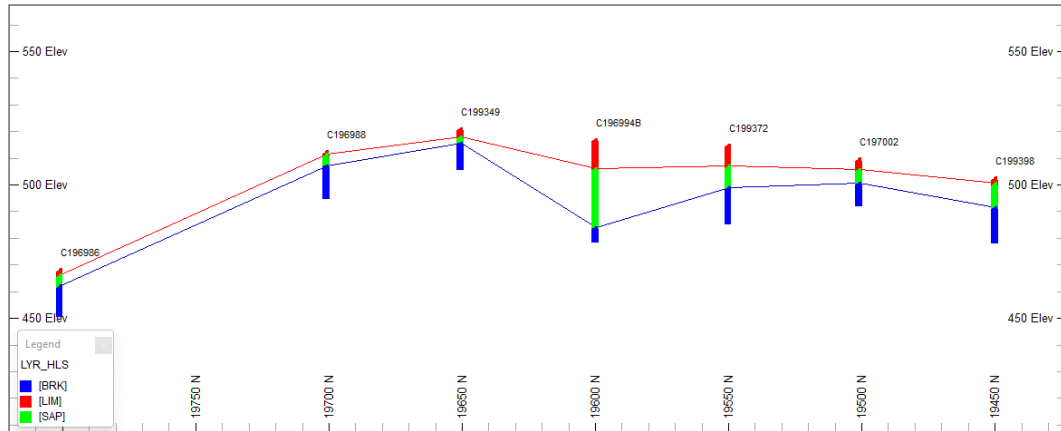
Tabel 44 Perhitungan ketebalan lapisan saprolit lintasan N08

ID Hole	Ketebalan Saprolit Berdasarkan Data Bor			Ketebalan Saprolit Berdasarkan Data Resistivitas		
	SapTop Elevasi	SapBot Elevasi	Ketebalan (m)	SapTop Elevasi	SapBot Elevasi	Ketebalan (m)
C199423	526,74	520,74	6	528,77	518,72	10,05
C197015	530,37	524,37	6	530,88	522,32	8,56
C199422	528,67	521,67	7	528,99	521,04	7,95
C197014	528,7	516,71	11,99	527,67	518,81	8,86
C199421	521,15	519,15	2	524,81	515,06	9,75
C197013	520,62	517,07	3,55	520,09	517,93	2,16
C199420	509,7	506,7	3	509,21	505,07	4,14
C197012B	507,07	500,07	7	504	492,52	11,48
C199419	504,24	487,24	17	503,15	497,74	5,41
C197011	498,33	485,33	13	500,54	493,78	6,76
C199418	505,28	499,93	5,35	506,12	499,2	6,92
Minimum			2	Minimum		2,16
Maximum			17	Maximum		11,48
Mean			7,44	Mean		7,45



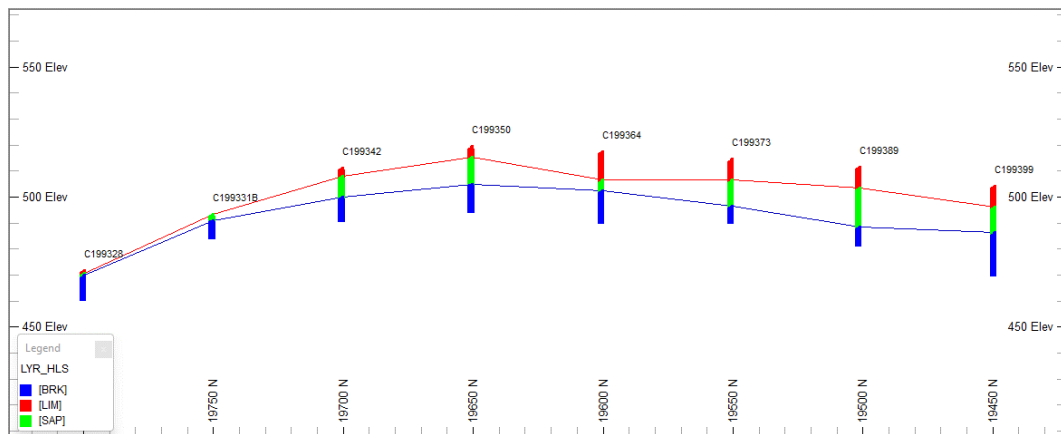
Lampiran 2. Penampang Data Bor

Lintasan E02



Gambar 1 Penampang data bor lintasan E02

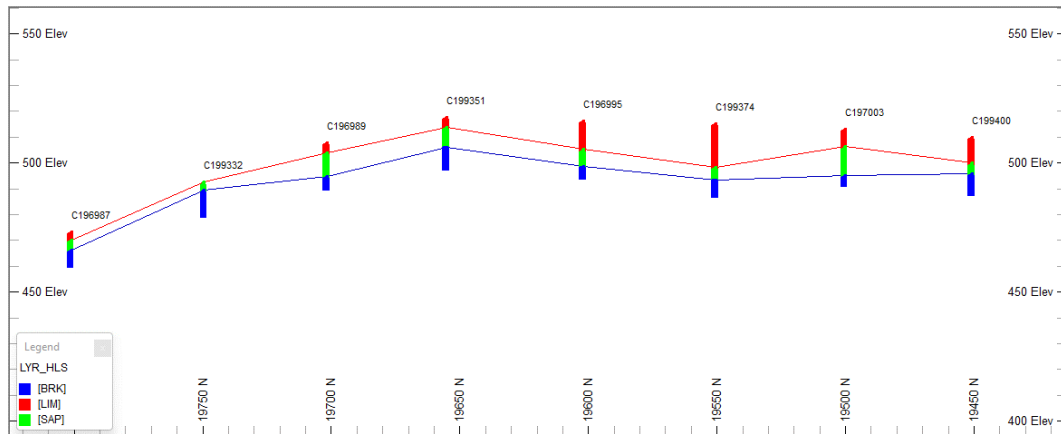
Lintasan E03



Gambar 2 Penampang data bor lintasan E03

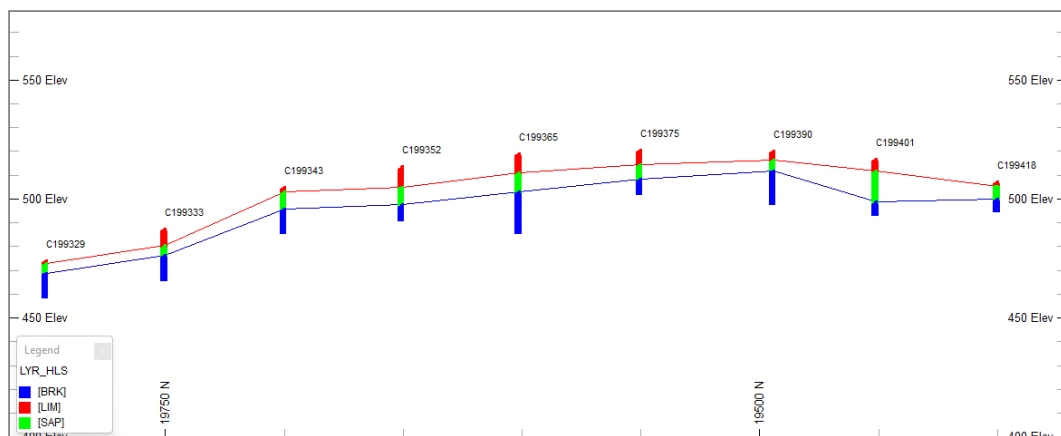


Lintasan E04



Gambar 3 Penampang data bor lintasan E04

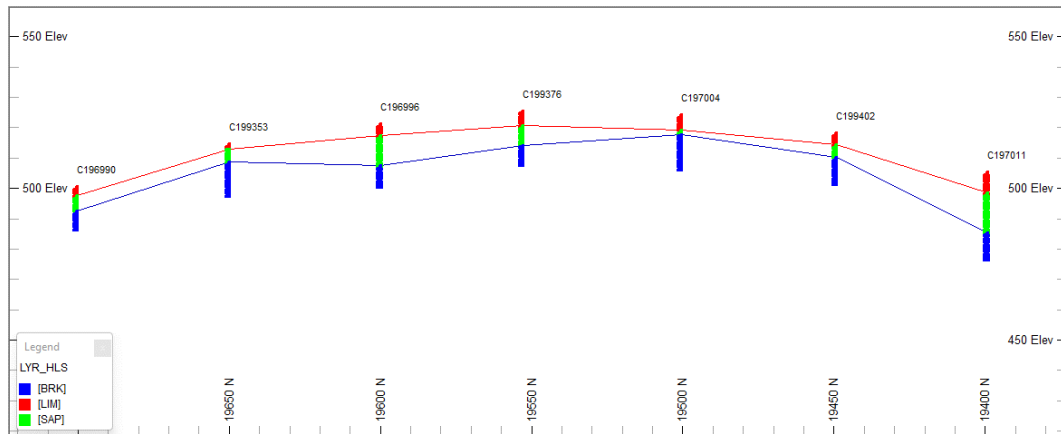
Lintasan E05



Gambar 4 Penampang data bor lintasan E05

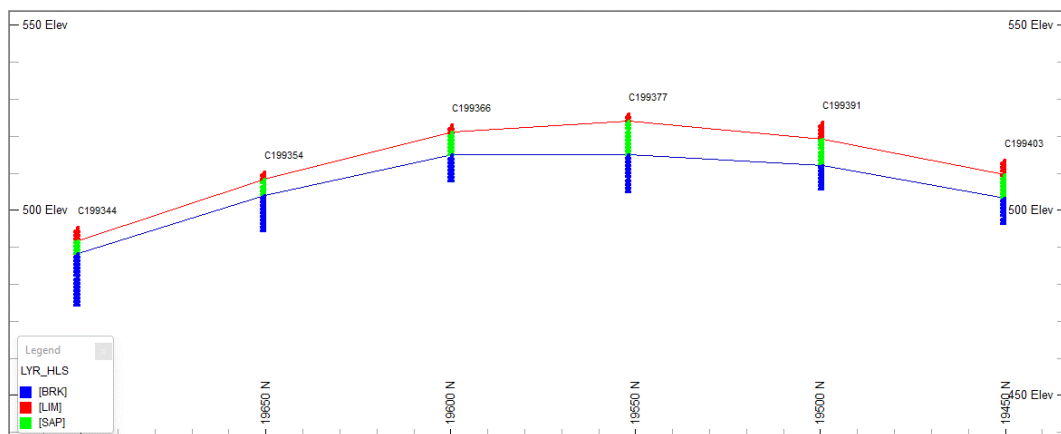


Lintasan E06



Gambar 5 Penampang data bor lintasan E06

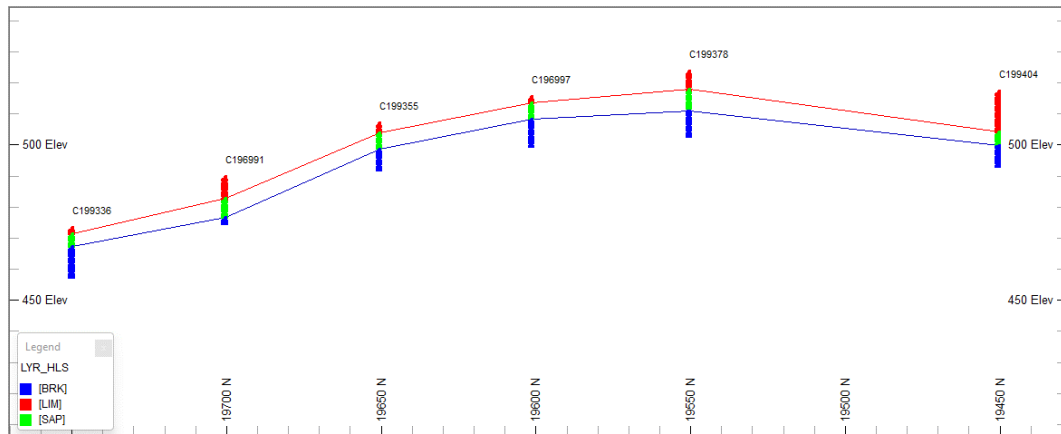
Lintasan E07



Gambar 6 Penampang data bor lintasan E07

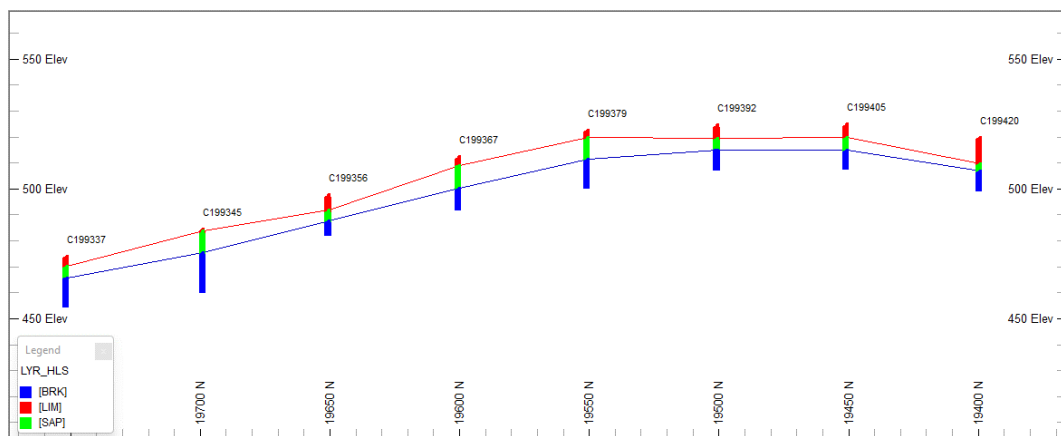


Lintasan E08



Gambar 7 Penampang data bor lintasan E08

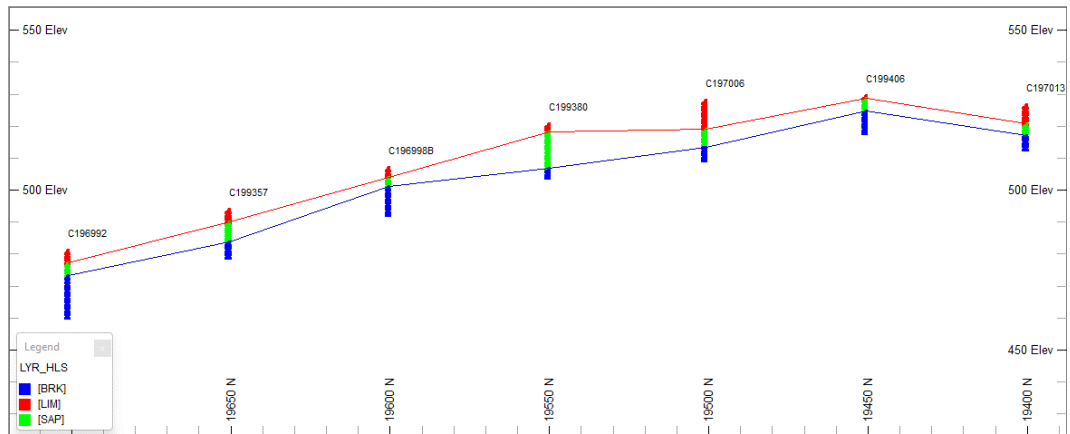
Lintasan E09



Gambar 8 Penampang data bor lintasan E09

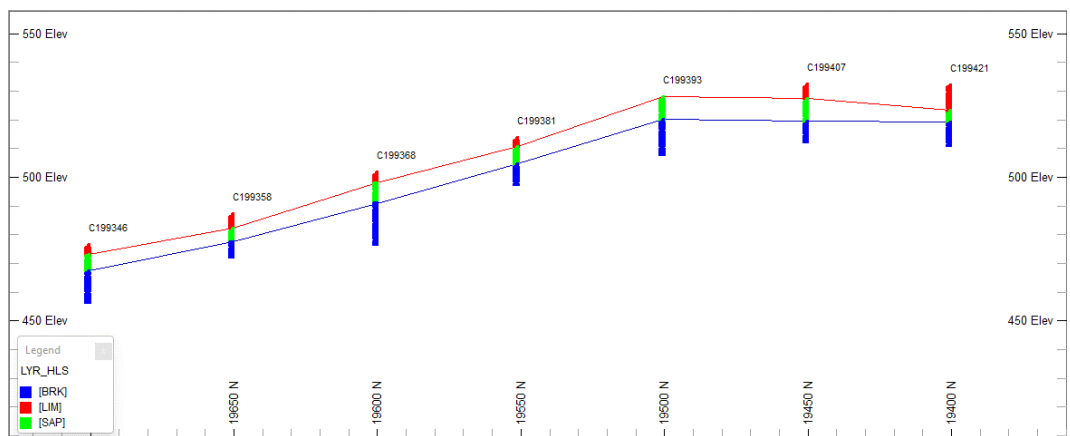


Lintasan E10



Gambar 9 Penampang data bor lintasan E10

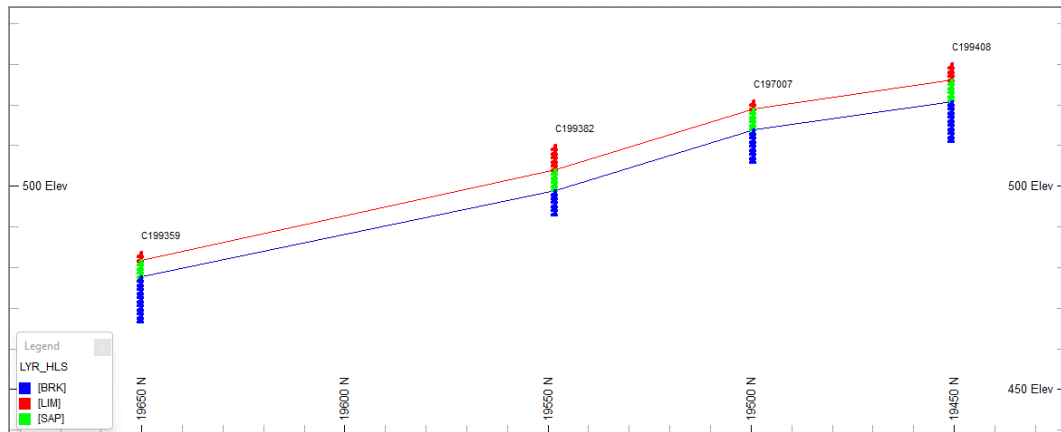
Lintasan E11



Gambar 10 Penampang data bor lintasan E11

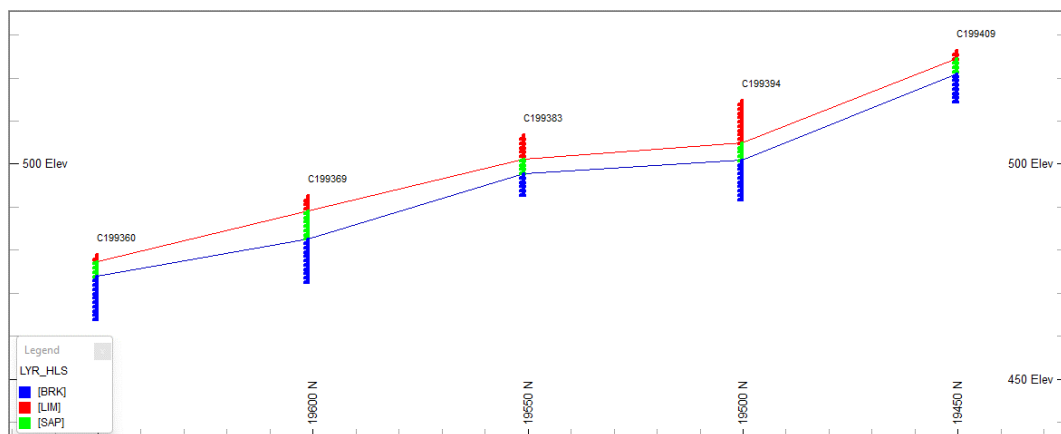


Lintasan E12



Gambar 11 Penampang data bor lintasan E12

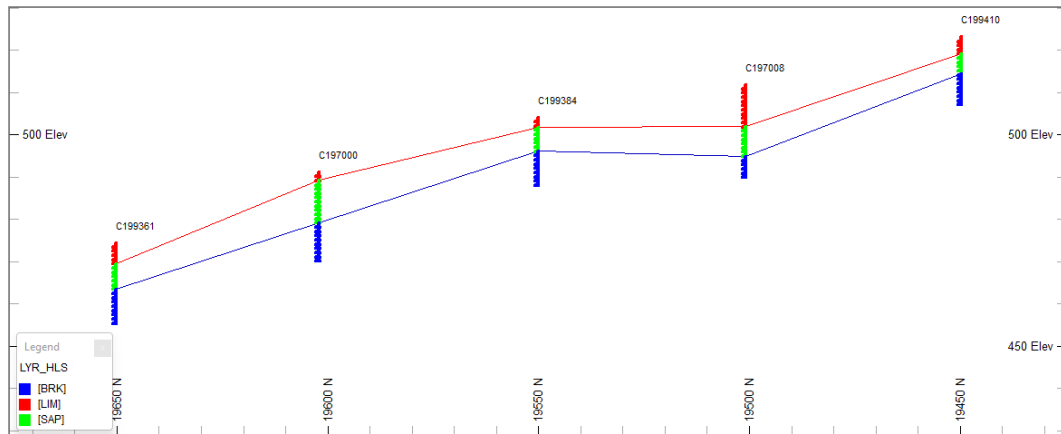
Lintasan E13



Gambar 12 Penampang data bor lintasan E13

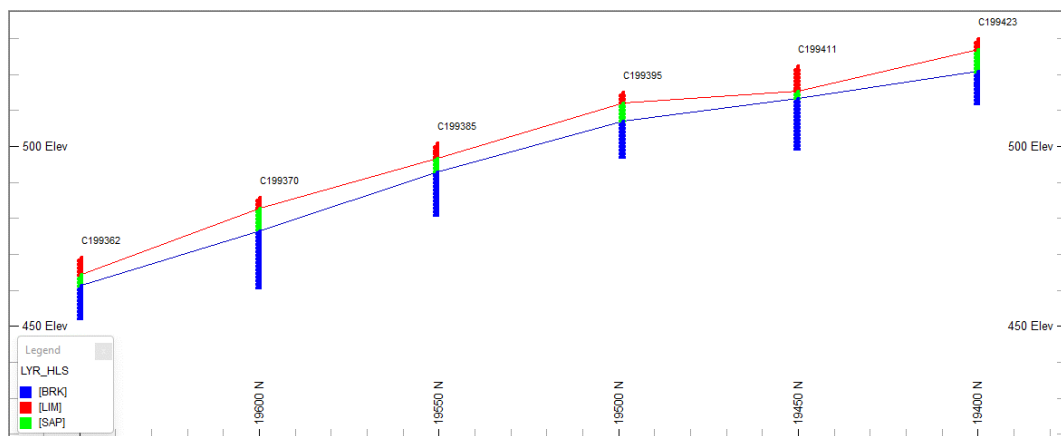


Lintasan E14



Gambar 13 Penampang data bor lintasan E14

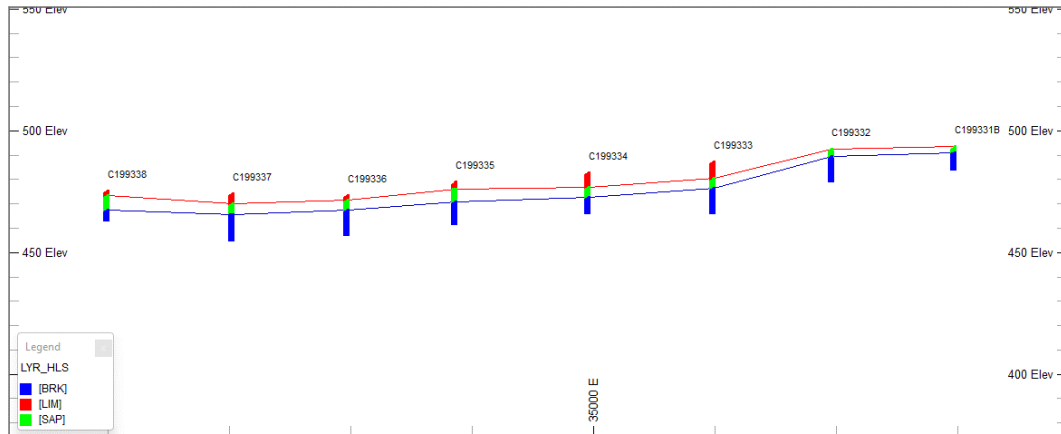
Lintasan E15



Gambar 14 Penampang data bor lintasan E15

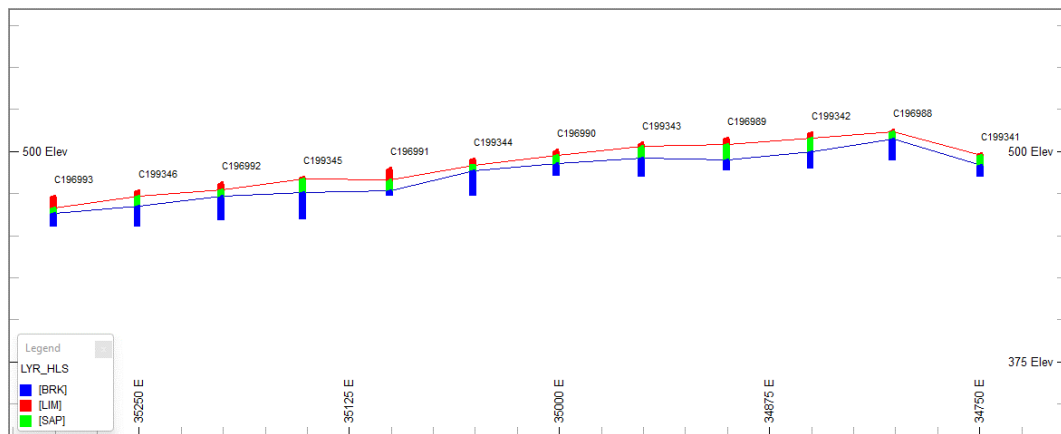


Lintasan N01



Gambar 15 Penampang data bor lintasan N01

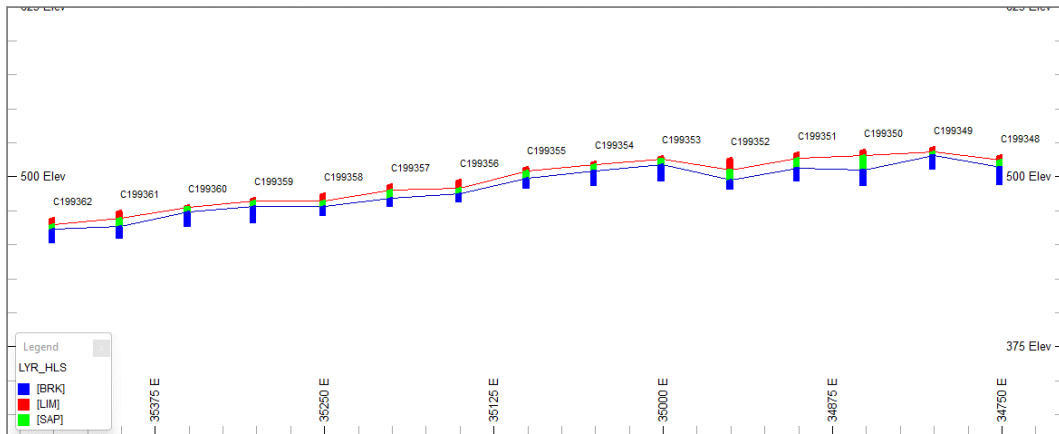
Lintasan N02



Gambar 16 Penampang data bor lintasan N02

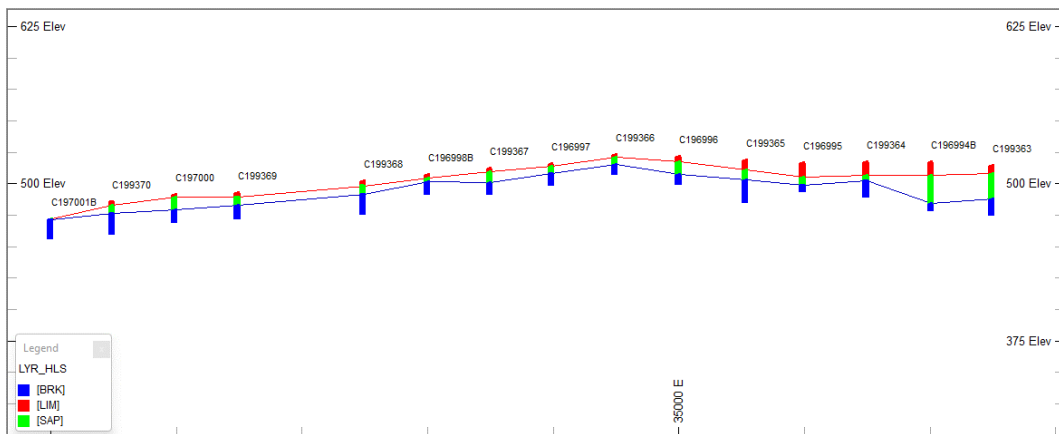


Lintasan N03



Gambar 17 Penampang data bor lintasan N03

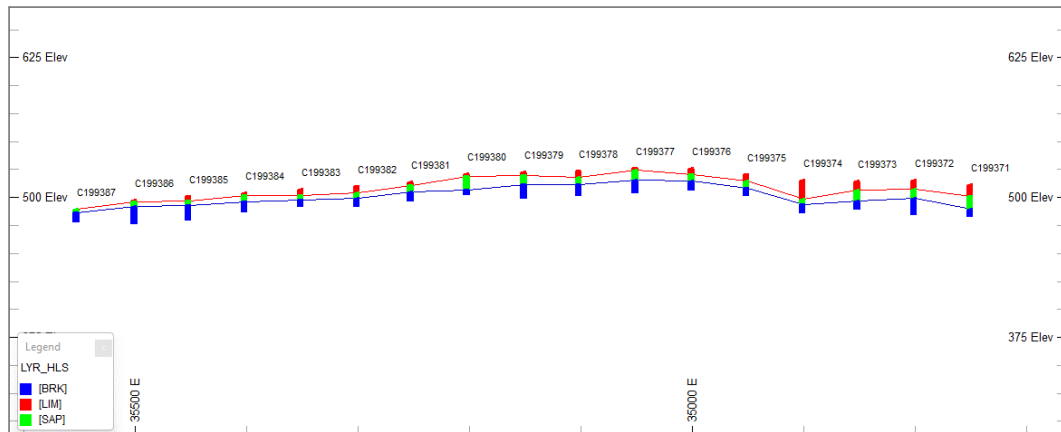
Lintasan N04



Gambar 18 Penampang data bor lintasan N04

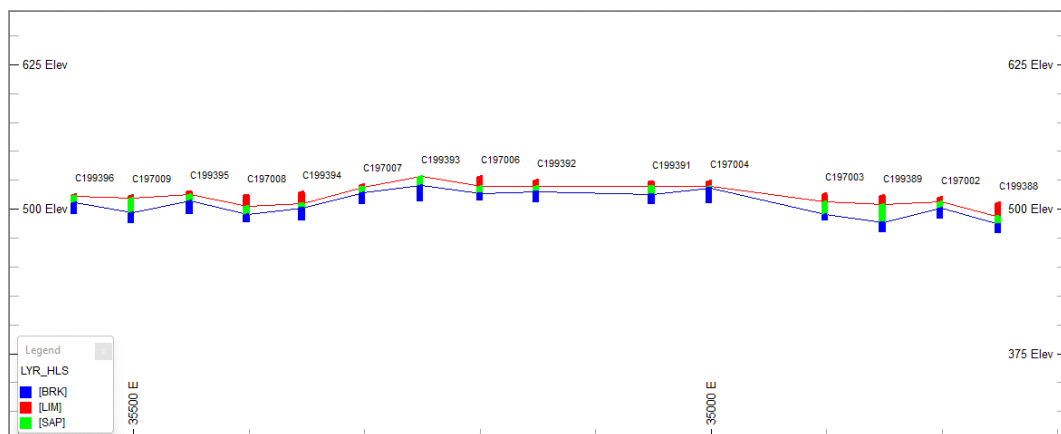


Lintasan N05



Gambar 19 Penampang data bor lintasan N05

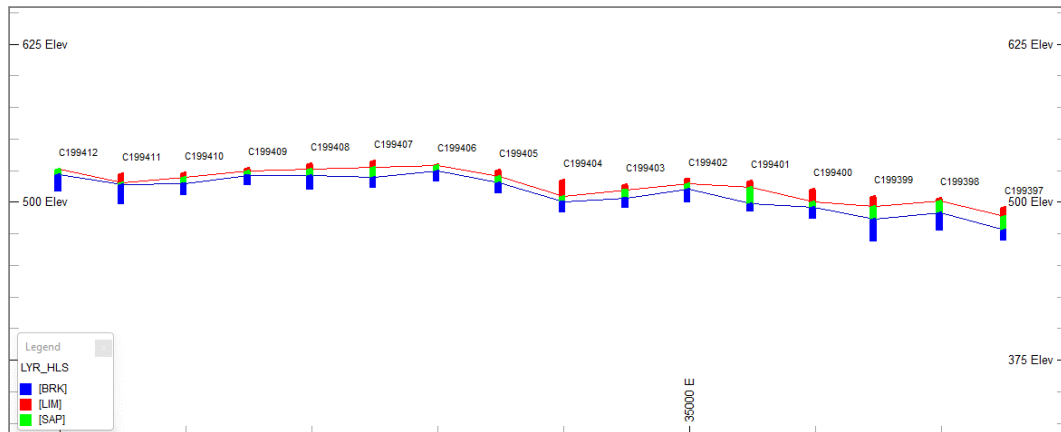
Lintasan N06



Gambar 20 Penampang data bor lintasan N06

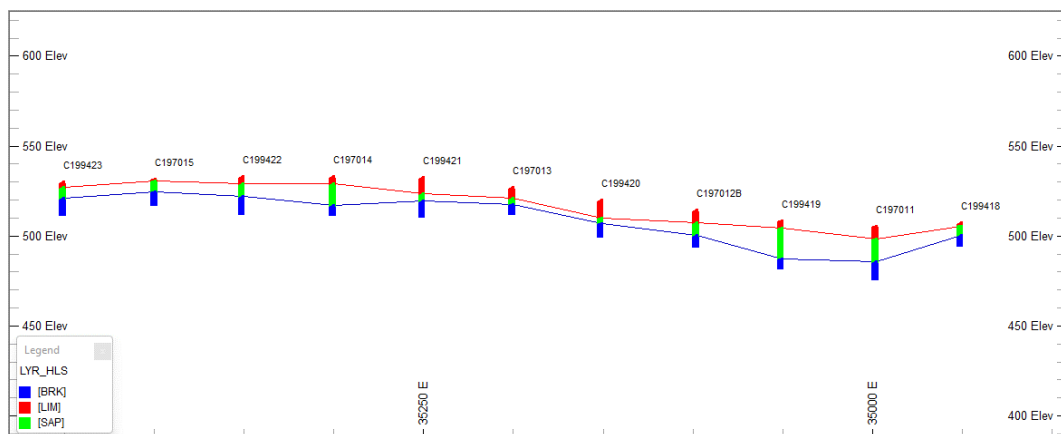


Lintasan N07



Gambar 21 Penampang data bor lintasan N07

Lintasan N08

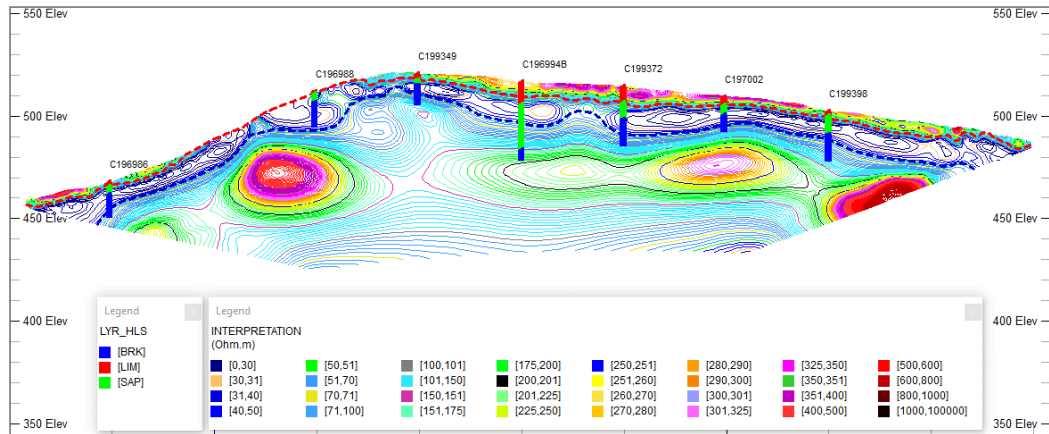


Gambar 22 Penampang data bor lintasan N08



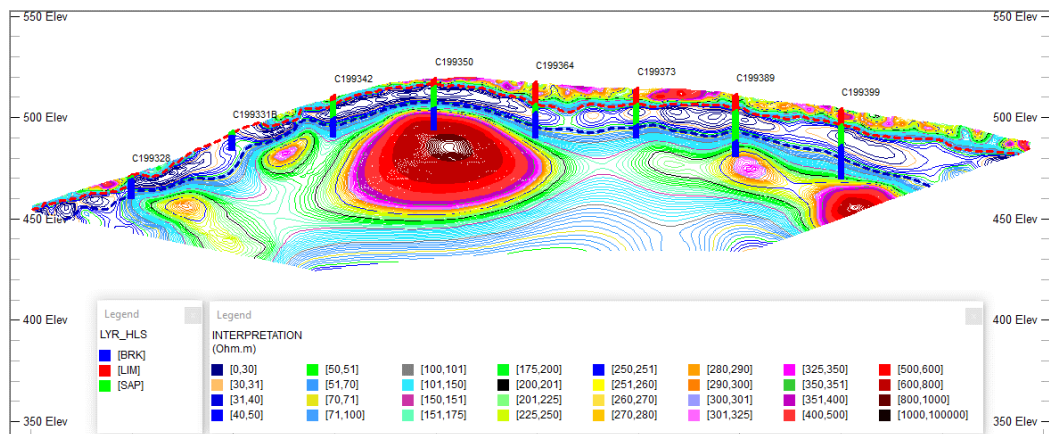
Lampiran 3. Penampang Kontur 2D Lintasan

Lintasan E02



Gambar 23 Penampang kontur resistivitas 2D dengan batas atas dan batas bawah lapisan saprolit lintasan E02

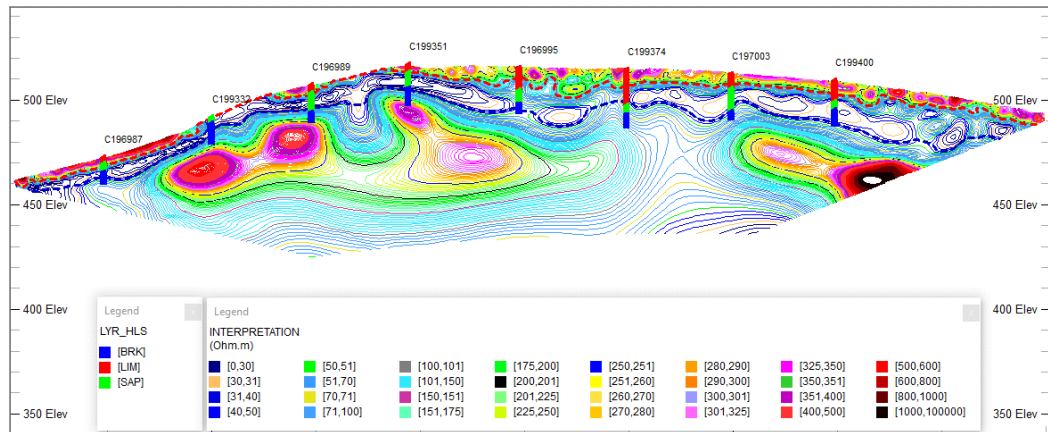
Lintasan E03



Gambar 24 Penampang kontur resistivitas 2D dengan batas atas dan batas bawah lapisan saprolit lintasan E03

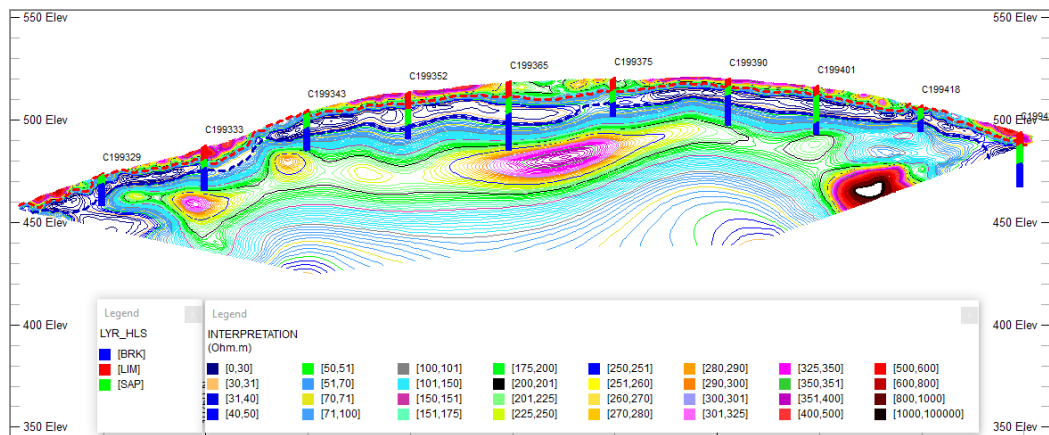


Lintasan E04



Gambar 25 Penampang kontur resistivitas 2D dengan batas atas dan batas bawah lapisan saprolit lintasan E04

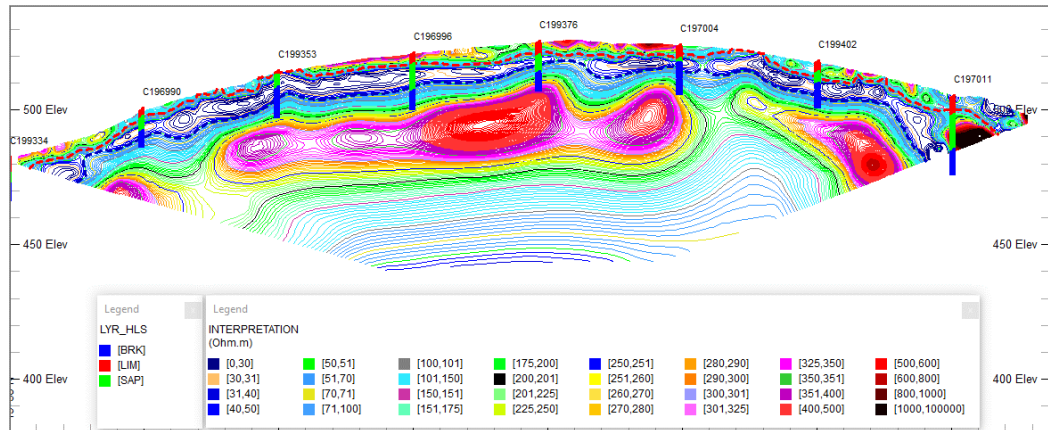
Lintasan E05



Gambar 26 Penampang kontur resistivitas 2D dengan batas atas dan batas bawah lapisan saprolit lintasan E05

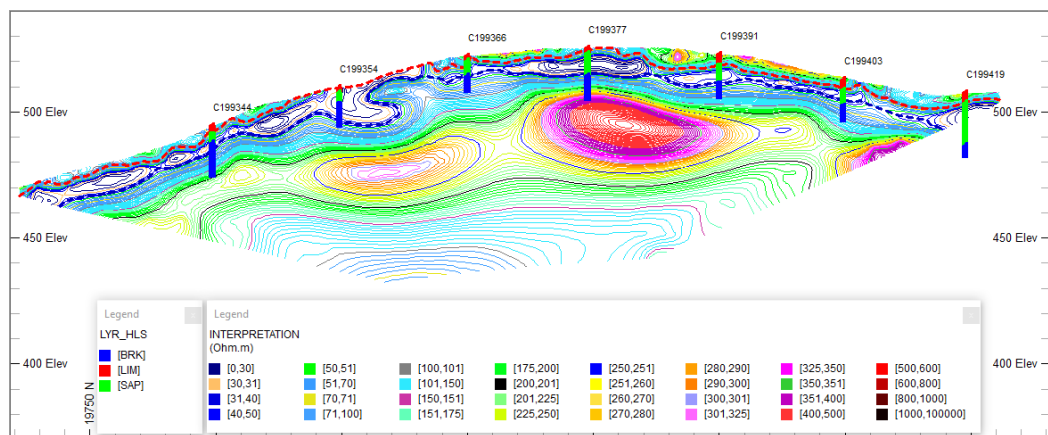


Lintasan E06



Gambar 27 Penampang kontur resistivitas 2D dengan batas atas dan batas bawah lapisan saprolit lintasan E06

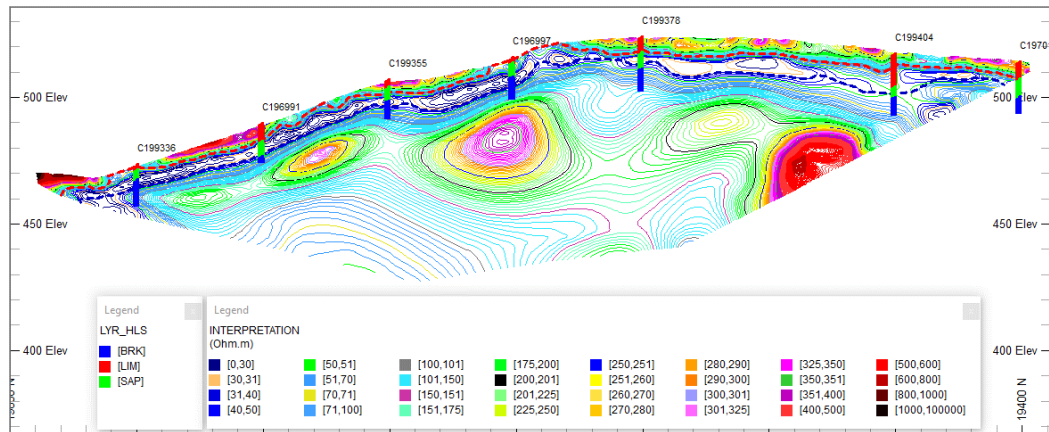
Lintasan E07



Gambar 28 Penampang kontur resistivitas 2D dengan batas atas dan batas bawah lapisan saprolit lintasan E07

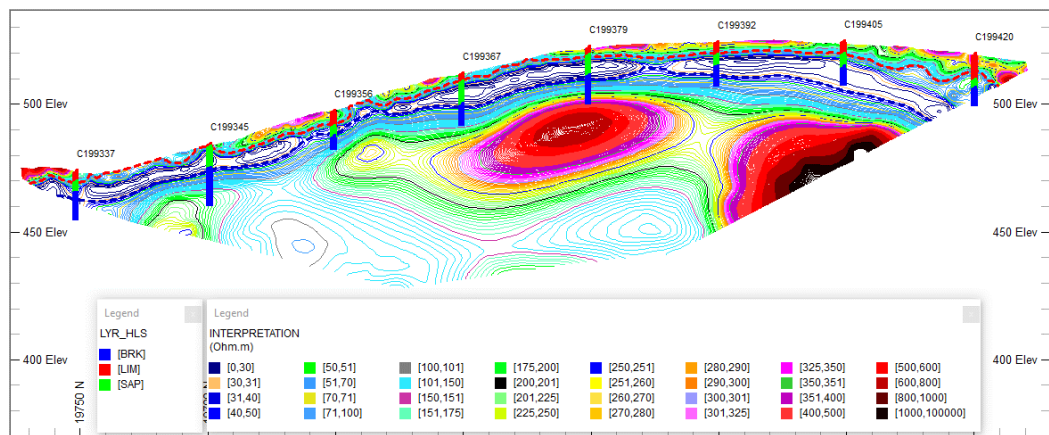


Lintasan E08



Gambar 29 Penampang kontur resistivitas 2D dengan batas atas dan batas bawah lapisan saprolit lintasan E08

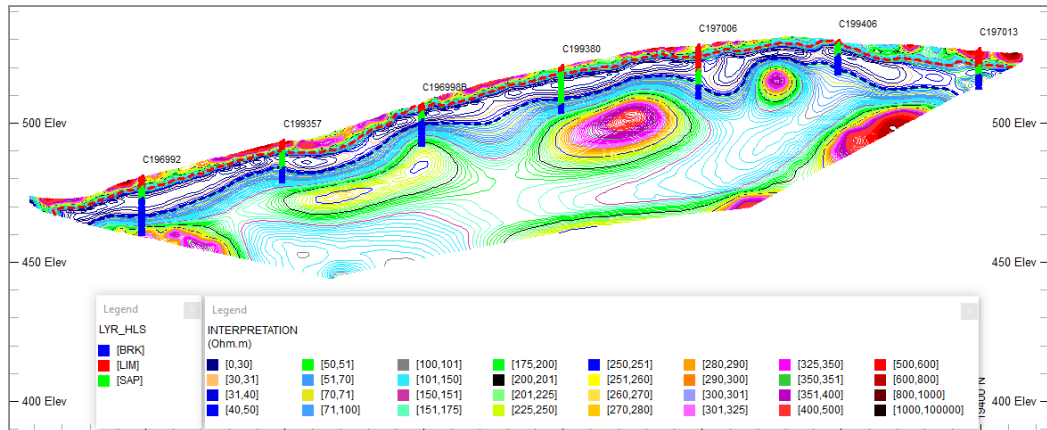
Lintasan E09



Gambar 30 Penampang kontur resistivitas 2D dengan batas atas dan batas bawah lapisan saprolit lintasan E09

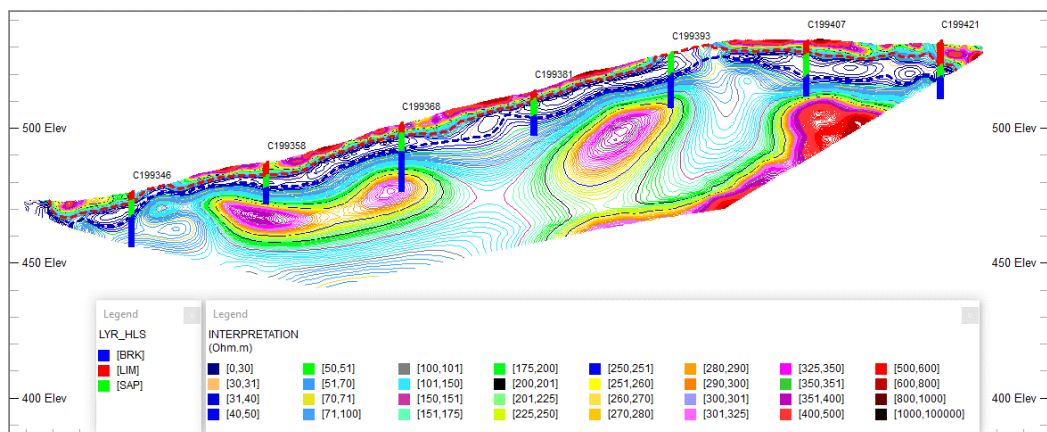


Lintasan E10



Gambar 31 Penampang kontur resistivitas 2D dengan batas atas dan batas bawah lapisan saprolit lintasan E10

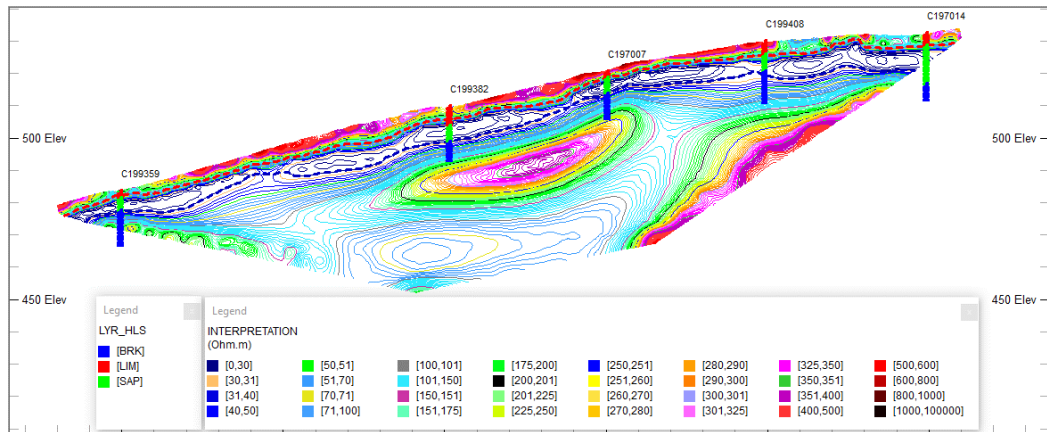
Lintasan E11



Gambar 32 Penampang kontur resistivitas 2D dengan batas atas dan batas bawah lapisan saprolit lintasan E11

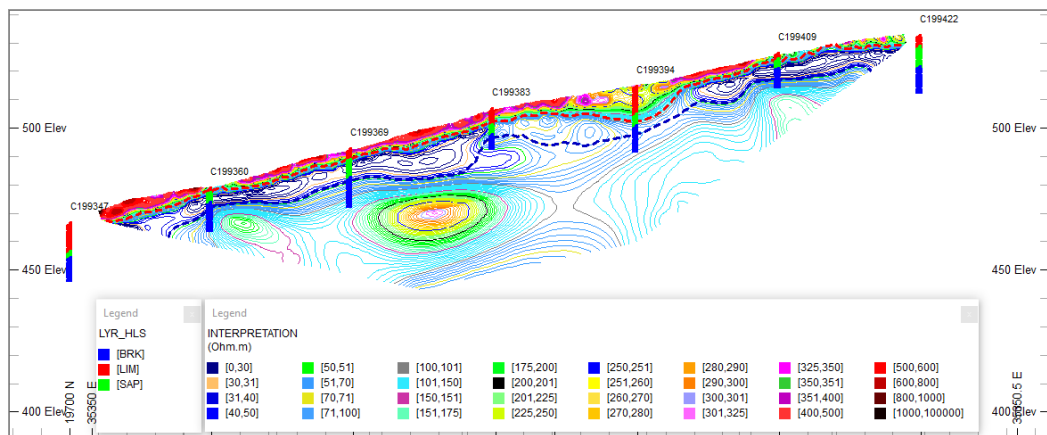


Lintasan E12



Gambar 33 Penampang kontur resistivitas 2D dengan batas atas dan batas bawah lapisan saprolit lintasan E12

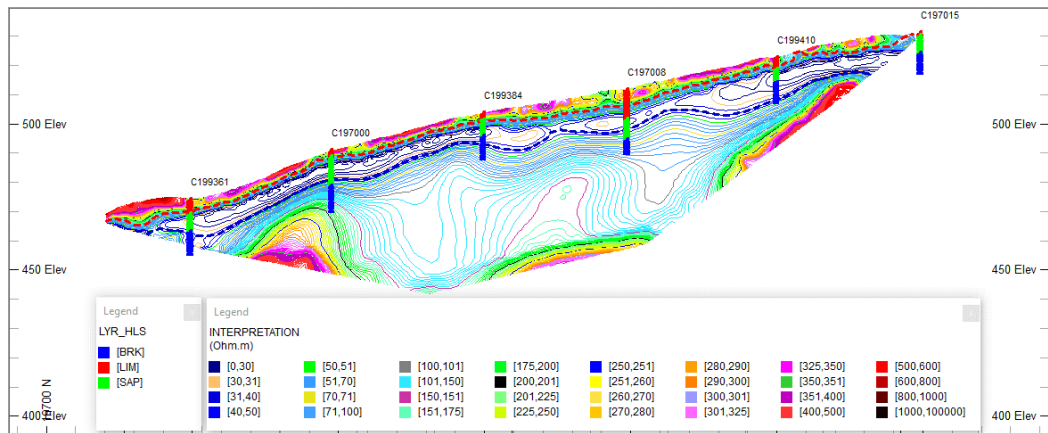
Lintasan E13



Gambar 34 Penampang kontur resistivitas 2D dengan batas atas dan batas bawah lapisan saprolit lintasan E13

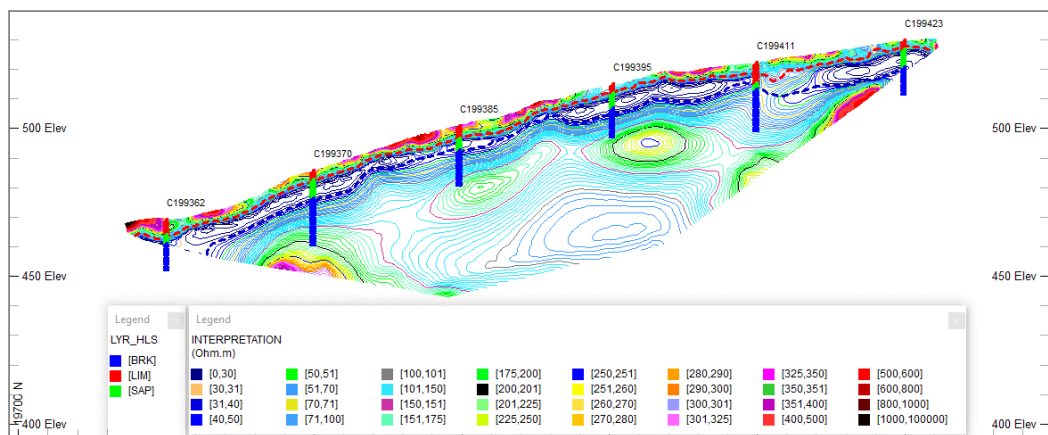


Lintasan E14



Gambar 35 Penampang kontur resistivitas 2D dengan batas atas dan batas bawah lapisan saprolit lintasan E14

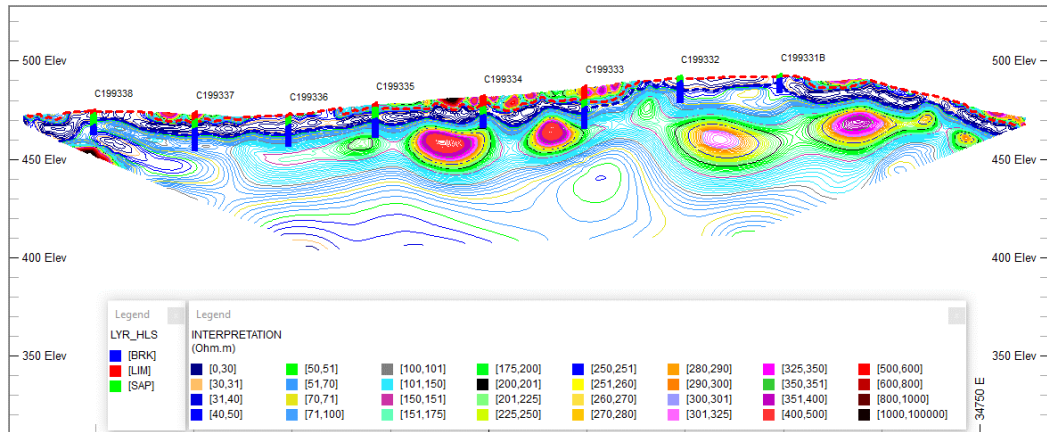
Lintasan E15



Gambar 36 Penampang kontur resistivitas 2D dengan batas atas dan batas bawah lapisan saprolit lintasan E15

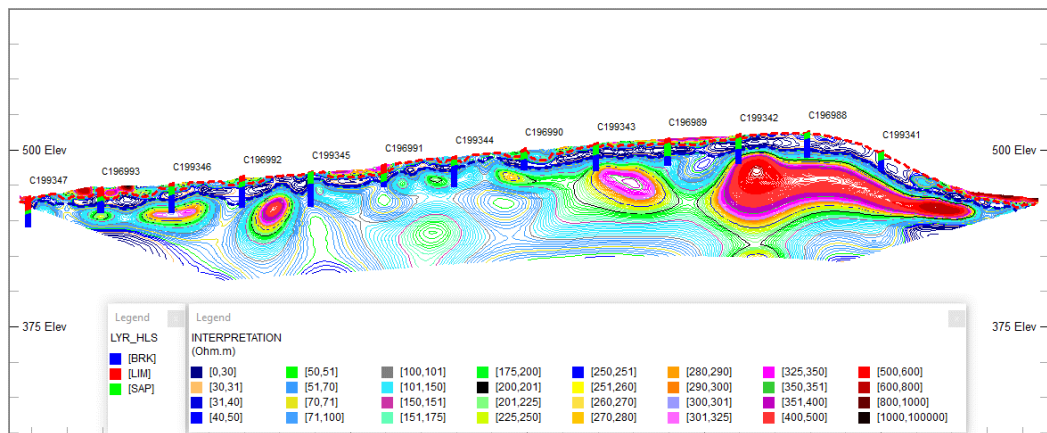


Lintasan N01



Gambar 37 Penampang kontur resistivitas 2D dengan batas atas dan batas bawah lapisan saprolit lintasan N01

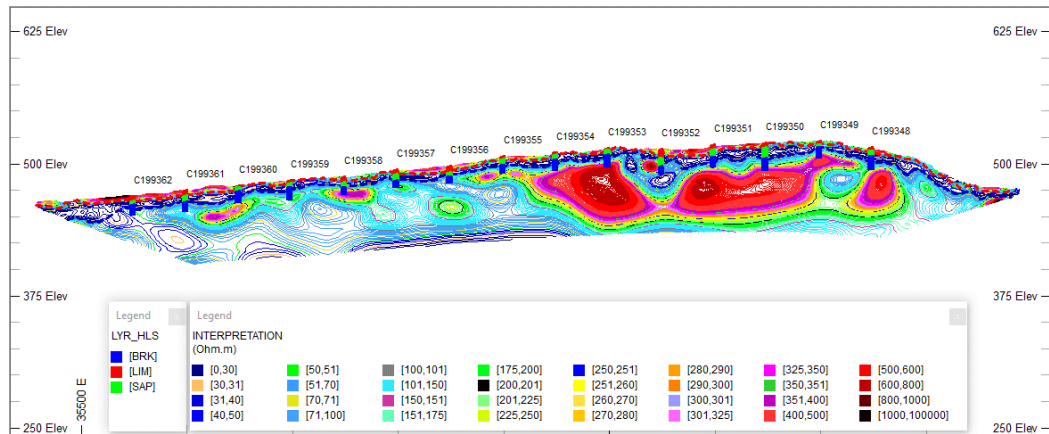
Lintasan N02



Gambar 38 Penampang kontur resistivitas 2D dengan batas atas dan batas bawah lapisan saprolit lintasan N02

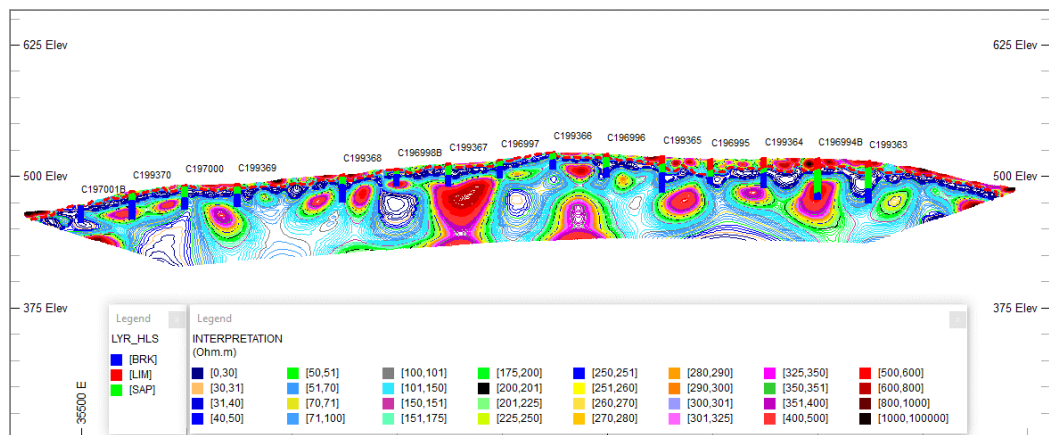


Lintasan N03



Gambar 39 Penampang kontur resistivitas 2D dengan batas atas dan batas bawah lapisan saprolit lintasan N03

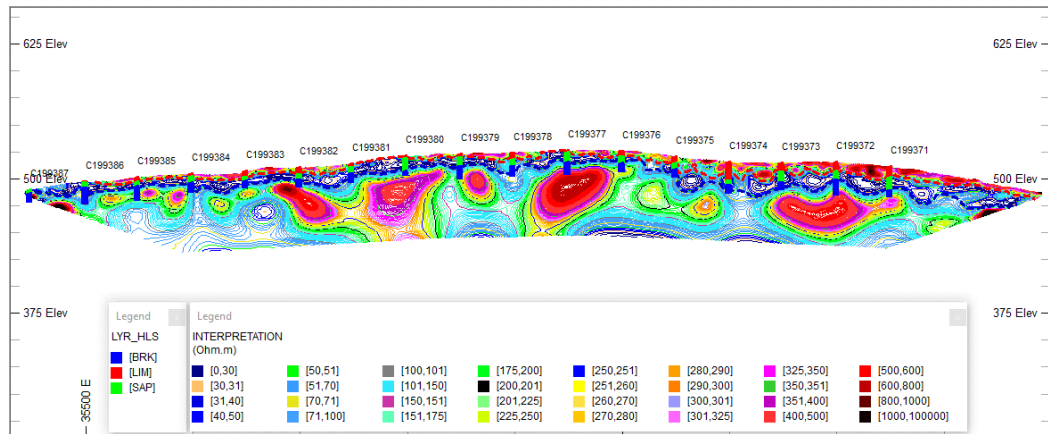
Lintasan N04



Gambar 40 Penampang kontur resistivitas 2D dengan batas atas dan batas bawah lapisan saprolit lintasan N04

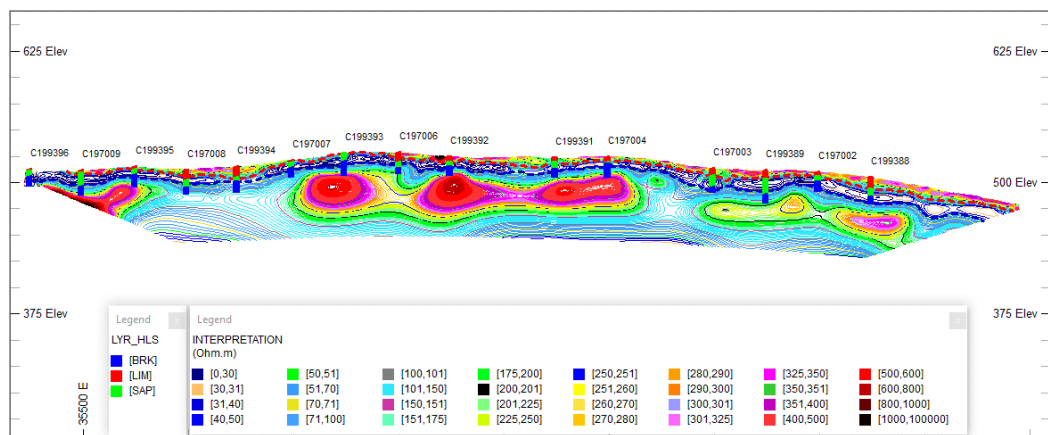


Lintasan N05



Gambar 41 Penampang kontur resistivitas 2D dengan batas atas dan batas bawah lapisan saprolit lintasan N05

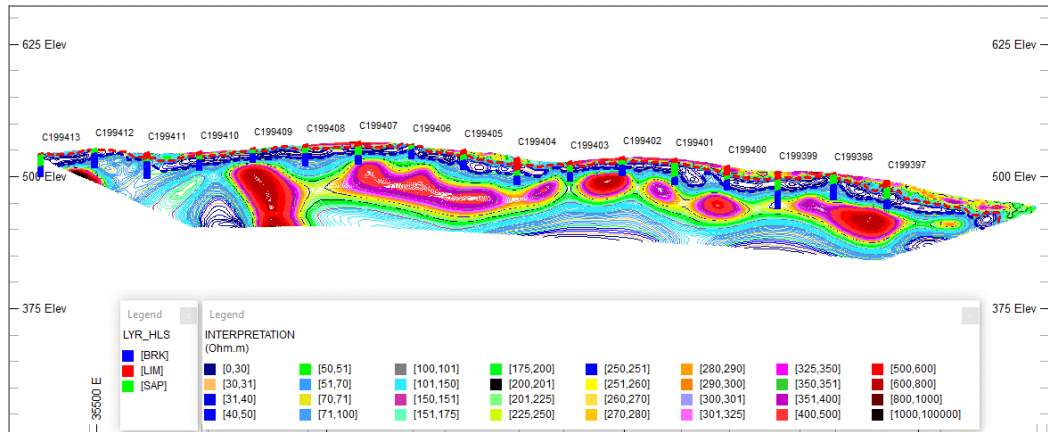
Lintasan N06



Gambar 42 Penampang kontur resistivitas 2D dengan batas atas dan batas bawah lapisan saprolit lintasan N06

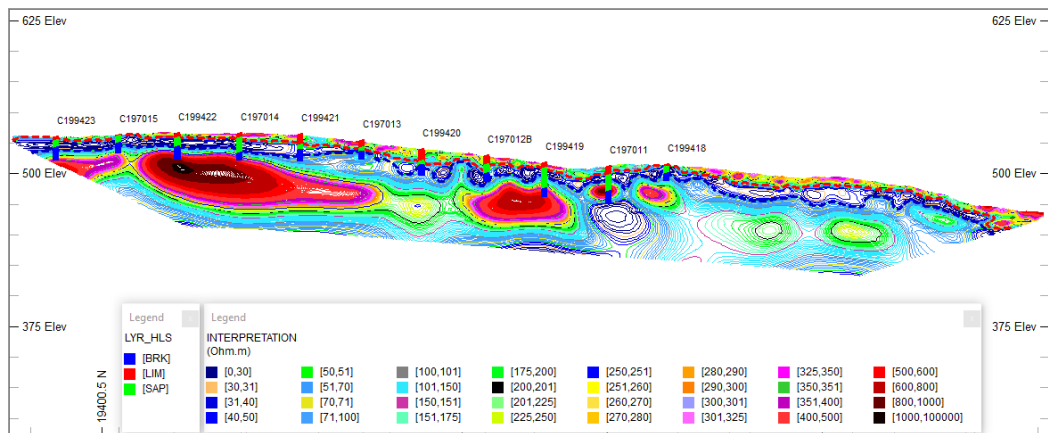


Lintasan N07



Gambar 43 Penampang kontur resistivitas 2D dengan batas atas dan batas bawah lapisan saprolit lintasan N07

Lintasan N08



Gambar 44 Penampang kontur resistivitas 2D dengan batas atas dan batas bawah lapisan saprolit lintasan N08

